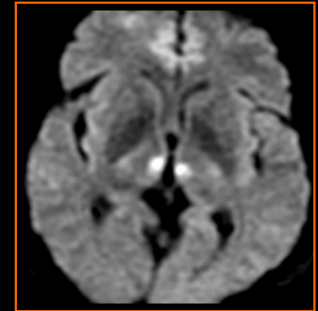


# Pièges et artefacts en IRM de diffusion

## OBJECTIFS

- Connaître les images pièges
- Savoir identifier un artefact
- Connaître les solutions pour les supprimer



Résumé

**C Oppenheim, H Moulahi, M Petkova, O Naggara,  
S Godon Hardy, F Brami-Zylberberg, JF Meder**



# Mode d'emploi

- Ne pas se servir du clavier
- Pour dérouler le diaporama, clique avec la souris sur les boutons actifs



En savoir plus ?

- Attention : Ne cliquer que sur ces boutons et nulle part ailleurs

*Clicker ici pour afficher  
la page suivante*



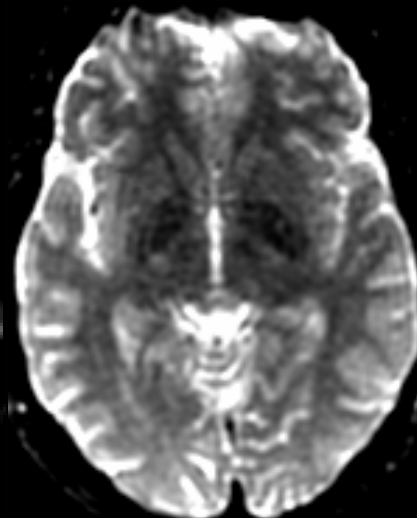
# Les aspects normaux chez l'adulte

- En diffusion, les noyaux gris sont en hyposignal
- Comment l'expliquer

?



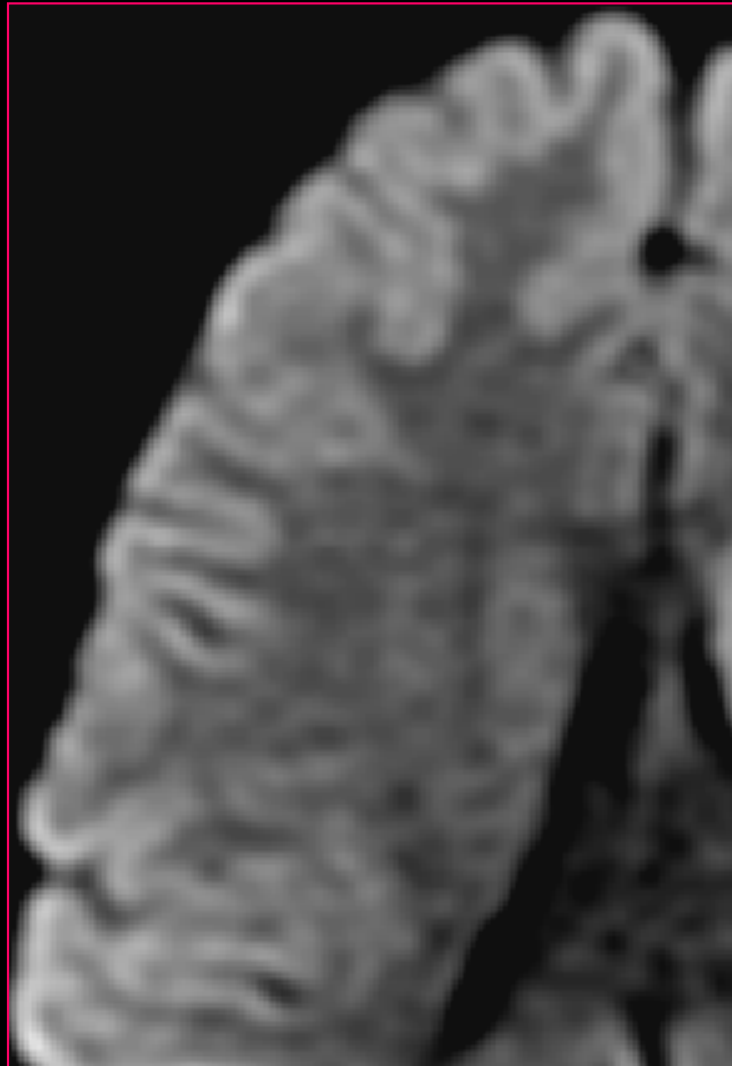
Diffusion



T2 (b=0 s/mm<sup>2</sup>)

Glossaire

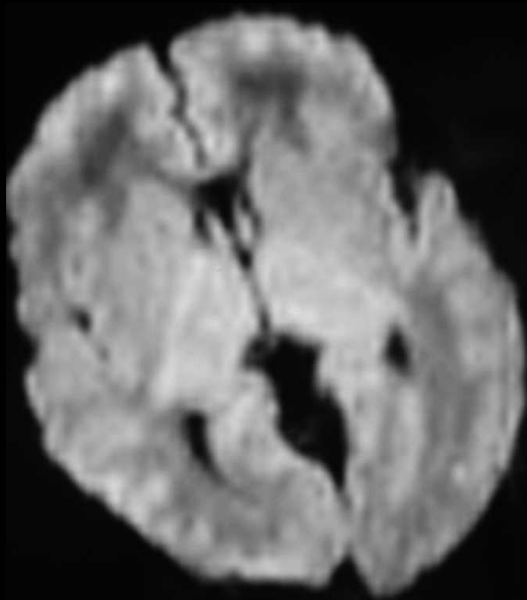
*Pourquoi la substance grise est elle en hypersignal sur les images de diffusion ?*



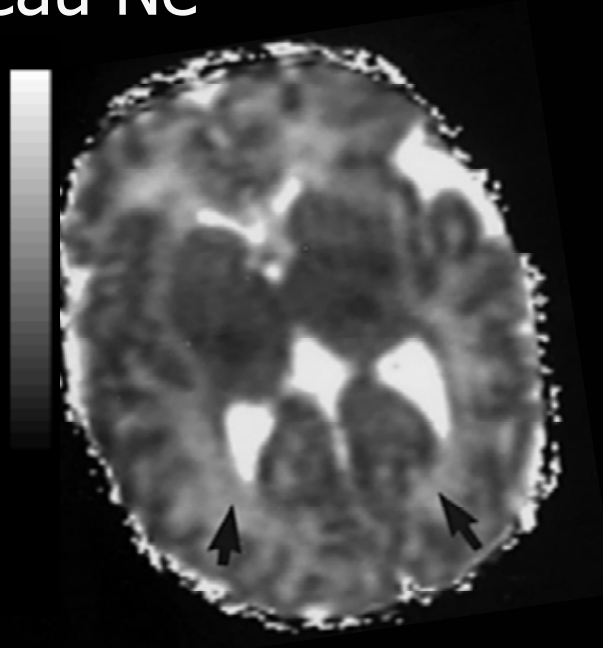
# Comment interpréter la diffusion chez le nouveau né et chez le jeune enfant ?

Nouveau Né

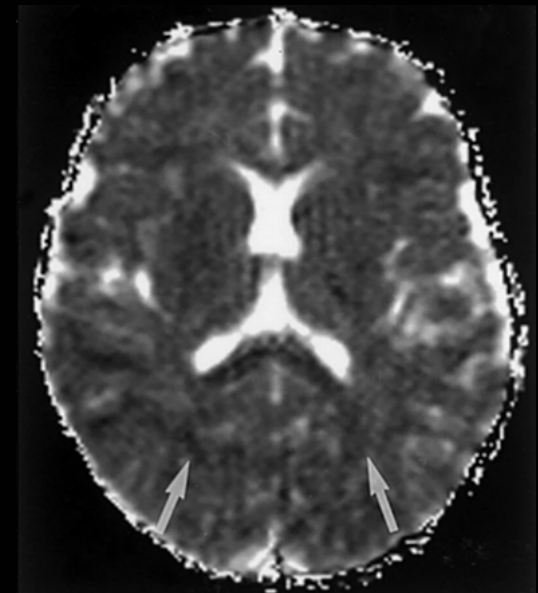
3 ans



Diffusion



ADC



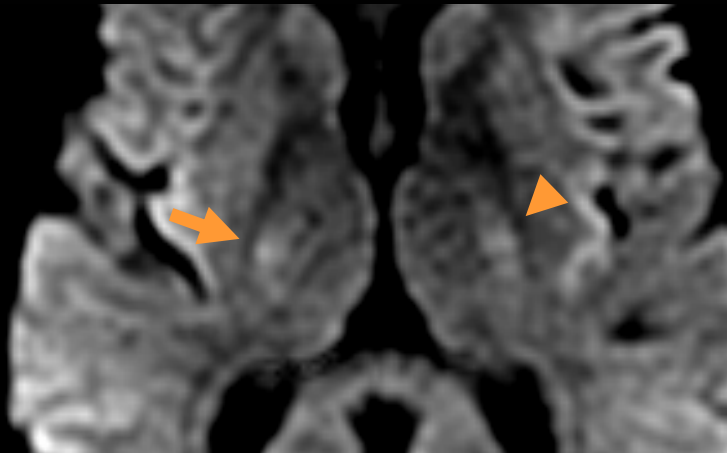
ADC



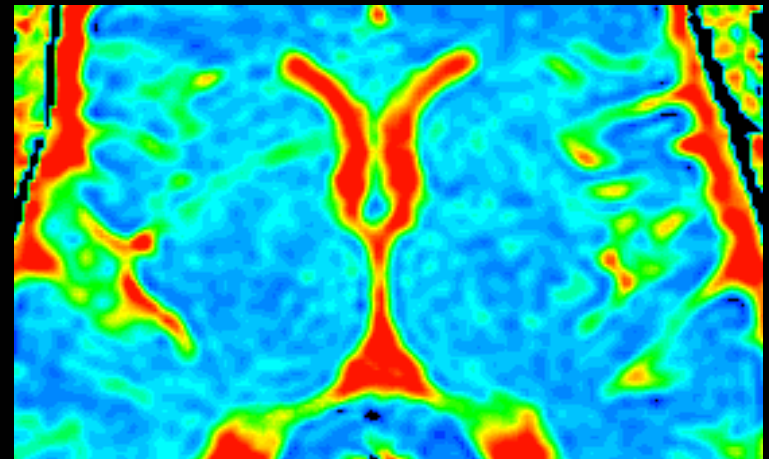
Remerciements à C Adamsbaum



# Comment explique t'on les hypersignaux visibles en diffusion le long des faisceaux cortico-spinaux ?



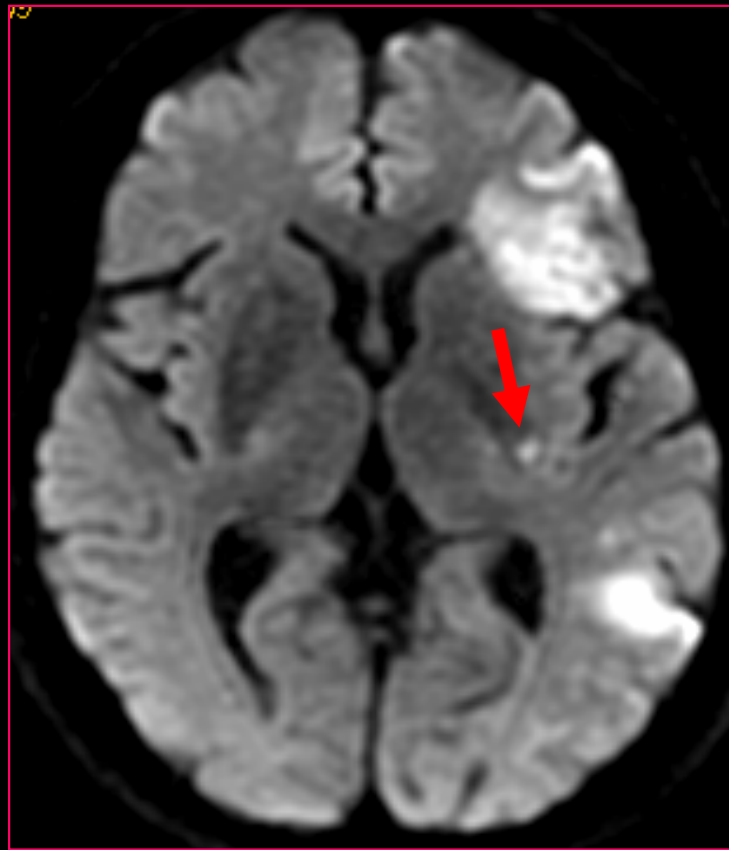
Diffusion



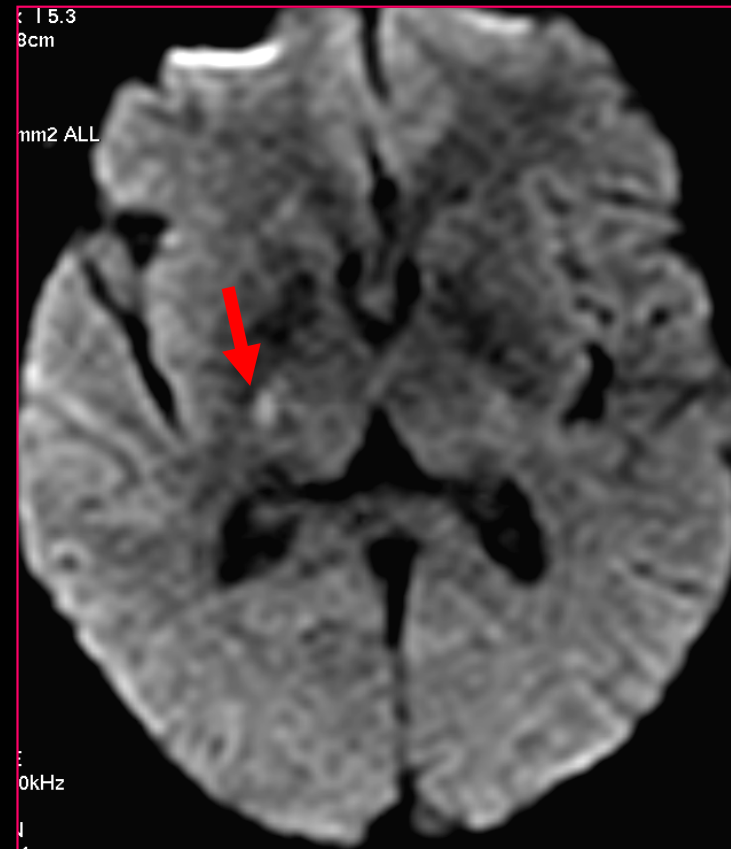
ADC



# Ischémie ou artéfact d'anisotropie ?



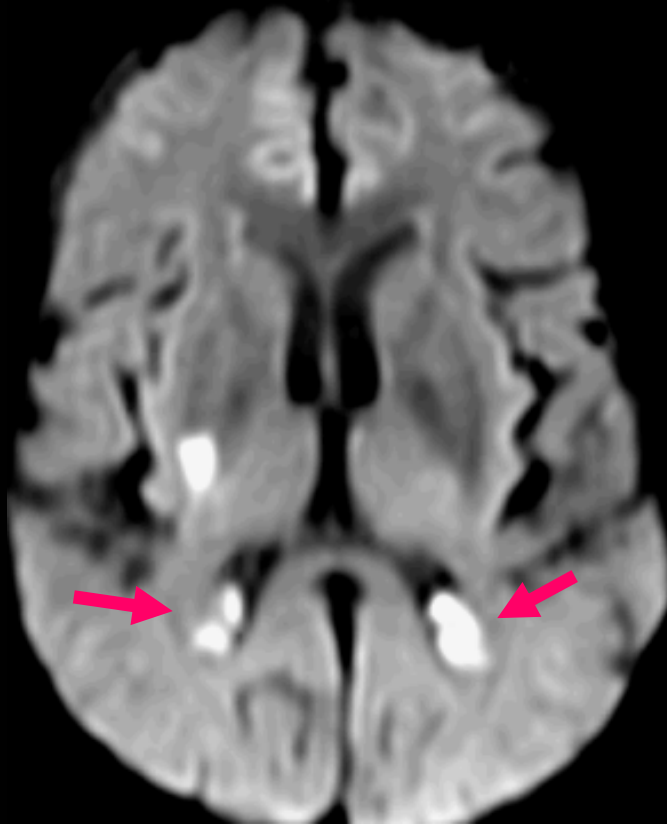
Exemple 1



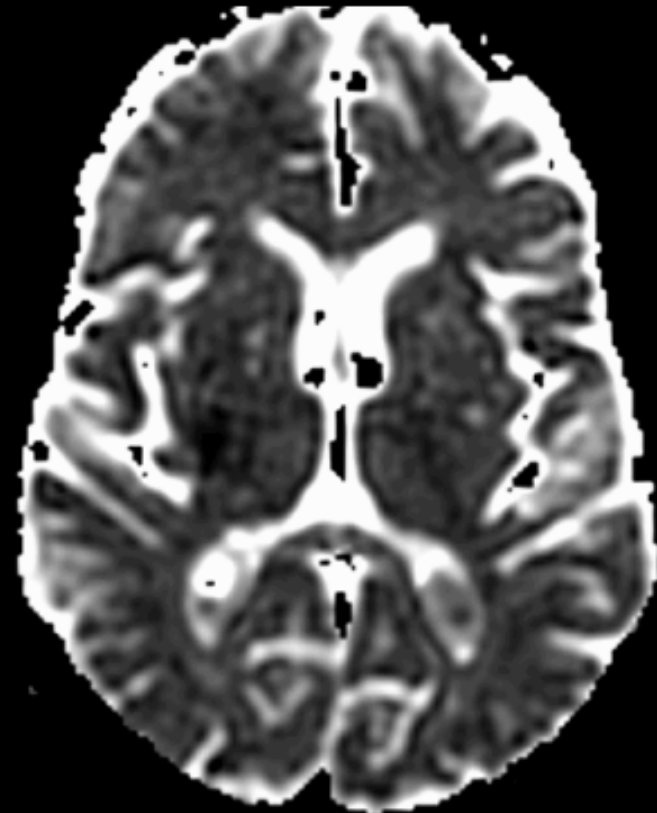
Exemple 2



# A quoi correspondent ces images ?



Diffusion



ADC





Nous abordons maintenant le cœur du sujet :  
**les artéfacts en diffusion**

La liste est longue et non exhaustive

1. Susceptibilité magnétique
2. Courants de Foucault
3. Images fantômes
4. Déplacement chimique
5. Troncature
6. Mouvements
7. Inhomogénéité du signal

Ils sont assez simples à comprendre et leur connaissance vous permettra d'améliorer la qualité de vos images de diffusion et/ou de vos interprétations

La plupart d'entre eux ne sont pas propres à la diffusion. Certains sont communs à toutes les séquences, d'autres propres à la technique **écho planar** à partir de laquelle les images de diffusion sont obtenues



# Petit rappel sur l'Imagerie Echo-planaire (EPI)

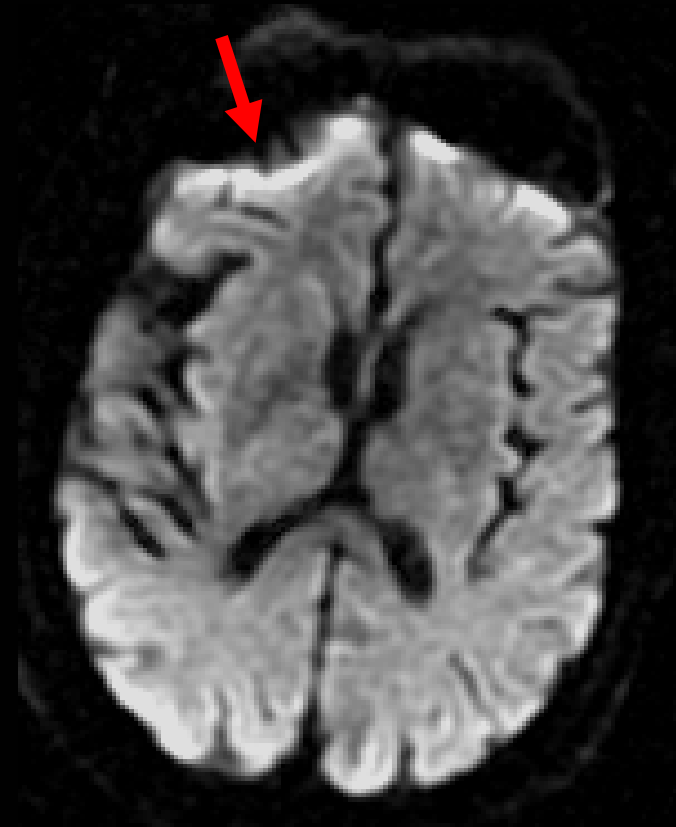
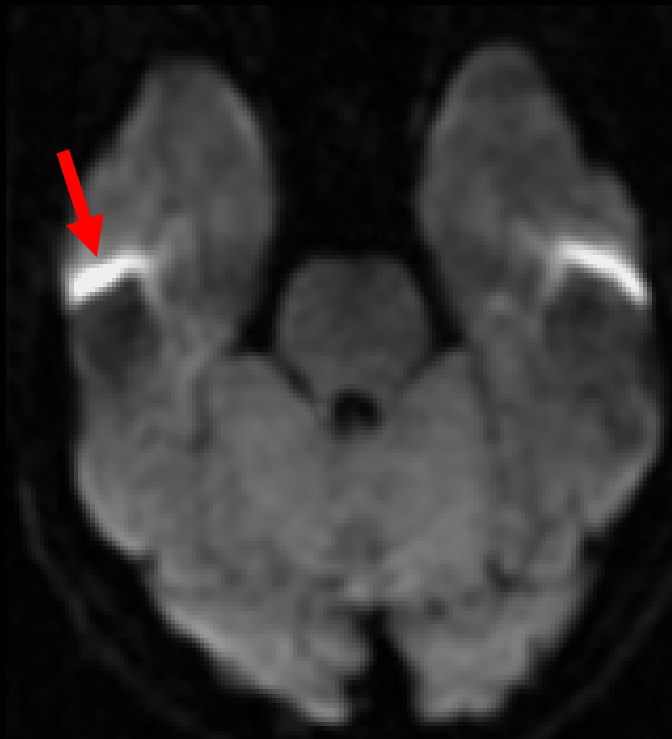
- Imagerie rapide qui permet l'acquisition des images de diffusion (mais aussi d'IRM fonctionnelle et de perfusion)
- 1 image  $\approx$  100 ms. Tout l'encéphale : quelques secondes
- Ceci est possible grâce à la lecture du plan de Fourier après une seule impulsion d'excitation (64 à 128 phases par TR)
- Il existe des artefacts propres à l'EPI (courant de Foucault, images fantômes ...) et d'autres communs à toutes les séquences (susceptibilité magnétique, déplacement chimique, mouvements)
- Attention : l'EPI est très sensible à la qualité de l'encodage en **phase** car les erreurs de phase **s'accumulent** au sein du train d'acquisition qui est long



En savoir plus ?



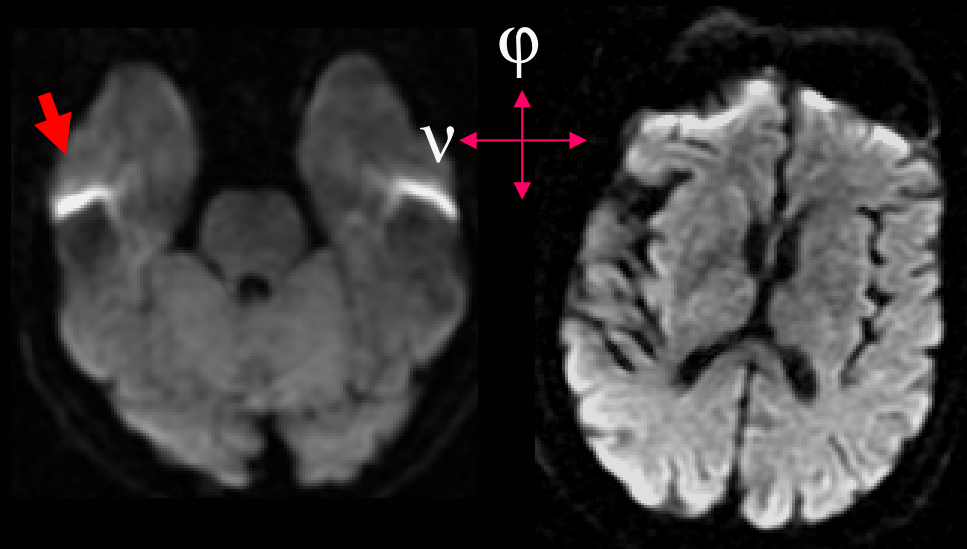
# Reconnaissez-vous cet artéfact



## Il s'agit d'un artéfact de susceptibilité magnétique

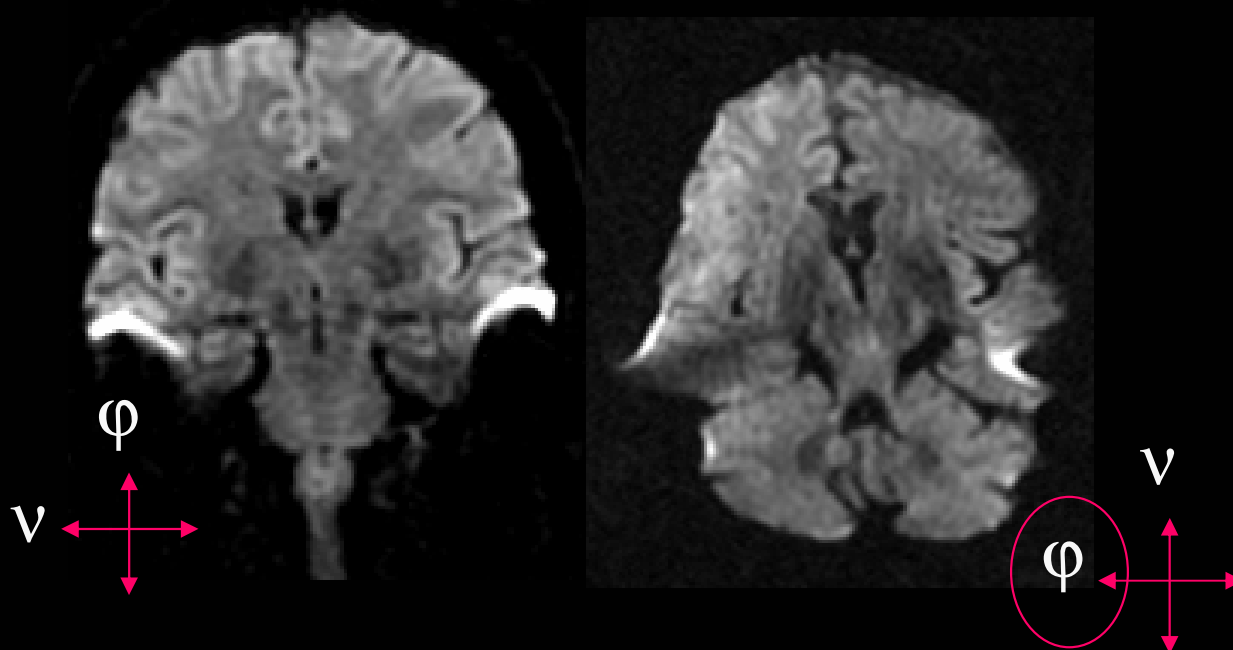
En savoir plus ?

- Particulièrement marqués en écho planar
- Surtout dans la direction du codage de phase ( $\phi$ )
- Aux interfaces entre l'air et les tissus

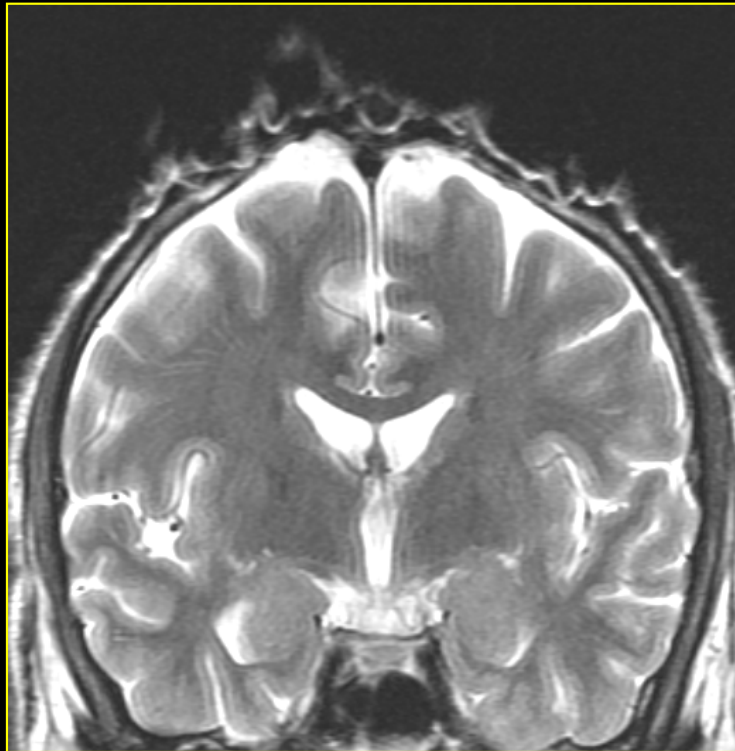


# Susceptibilité magnétique

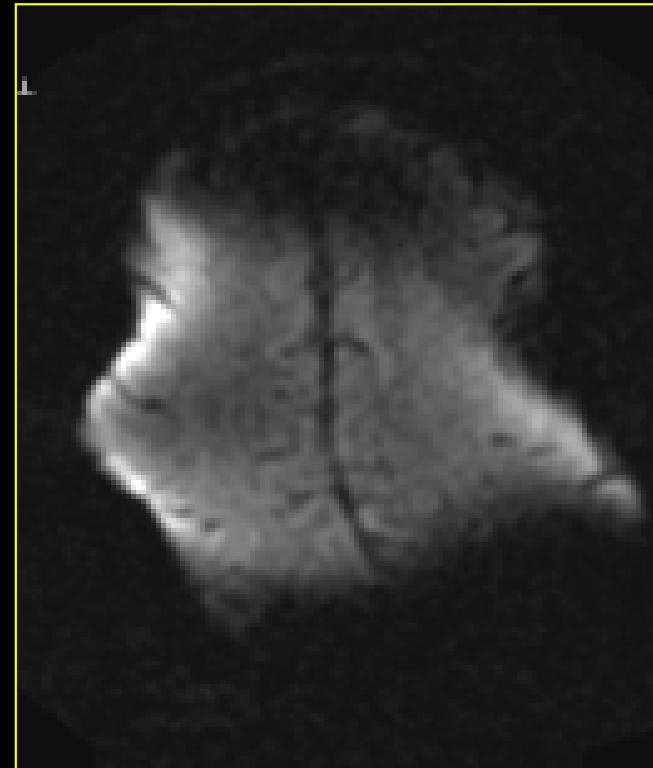
- Comment choisir la direction du codage de phase et de fréquence ?
  - En coronal, on préférera placer la phase ( $\phi$ ) en SUP-INF



# Quelle erreur a été commise ?



FSE T2



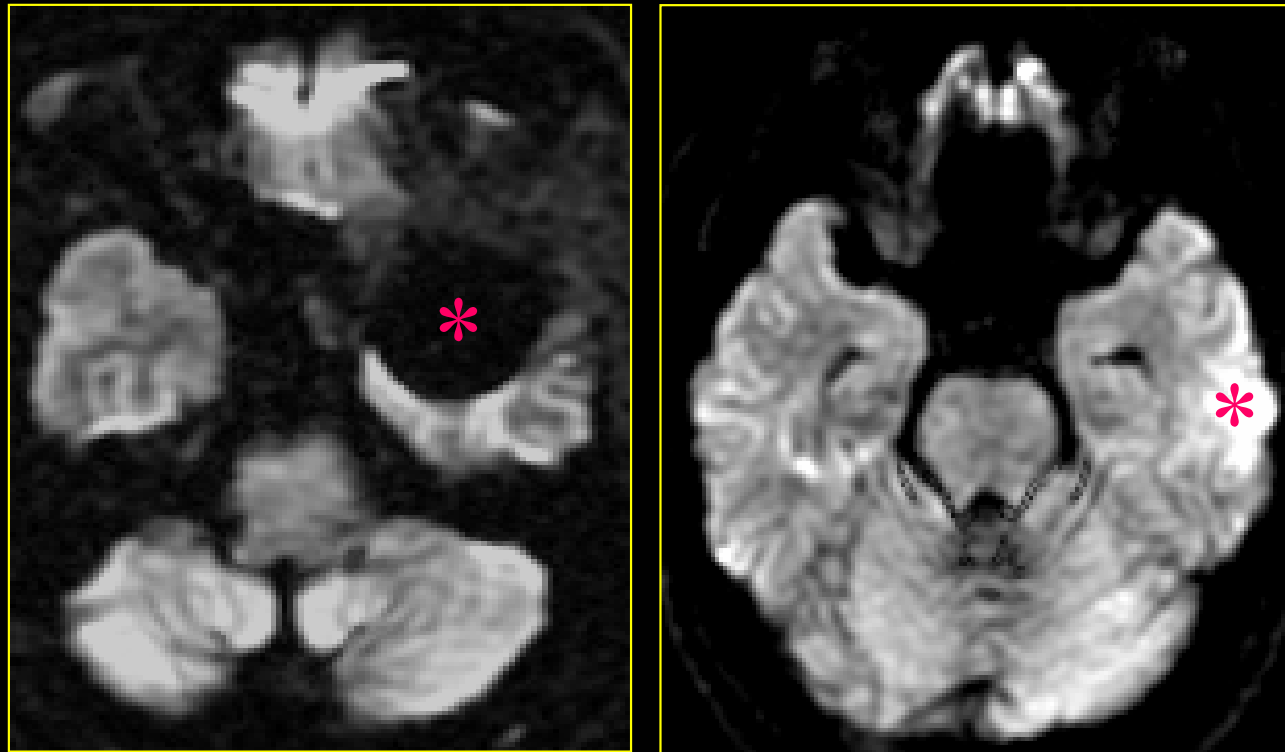
Diffusion

- Femme de 50 ans. Teinture capillaire au carbone



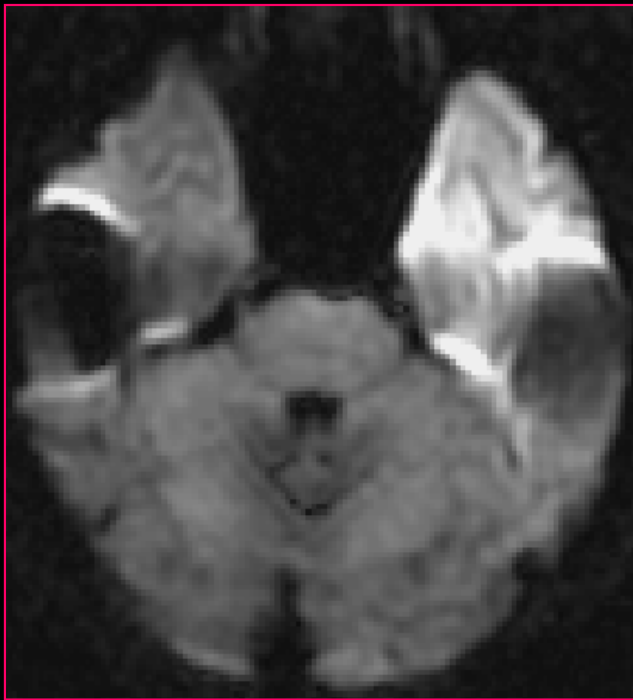
# Ces artéfacts sont parfois gênants

- Ex. Pour l'analyse du lobe temporal :

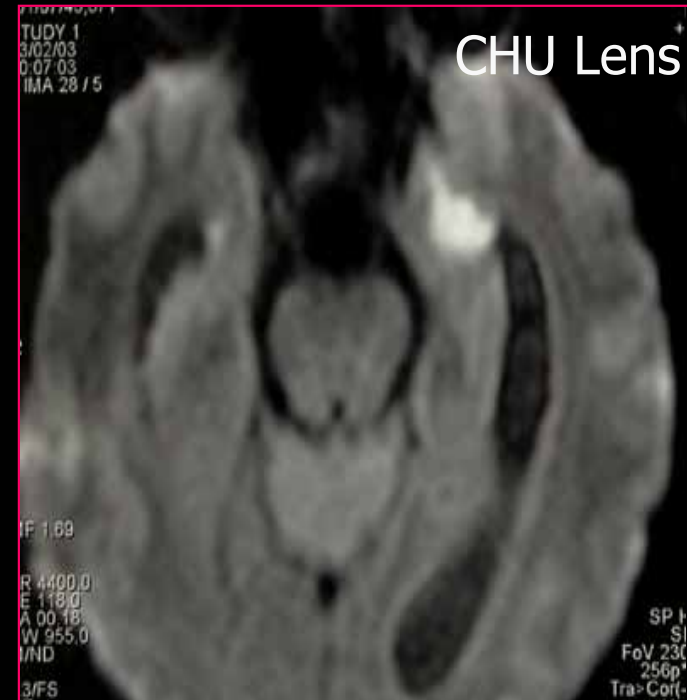


# Ces artéfacts sont parfois gênants

- Suspicion d'encéphalite virale ...



Cas n°1



Cas n°2

Artéfact ou atteinte temporale





# Susceptibilité magnétique

- Autres techniques d'acquisition :
  - Si on tient à utiliser l'écho-planar
    - EPI multishot (↘ TE)
    - EPI SENSE ou ASSET (↘ Bdw, TE)

😊 Disponible chez  
certains constructeurs



Diff single-shot



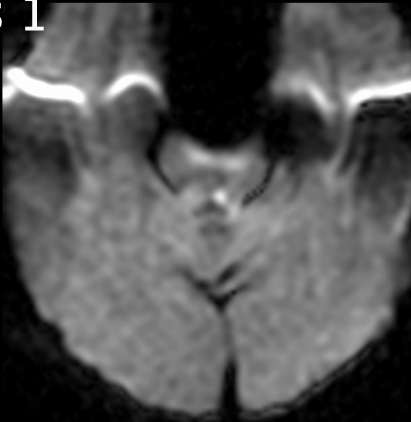
Diff Multi-shot



# Susceptibilité magnétique

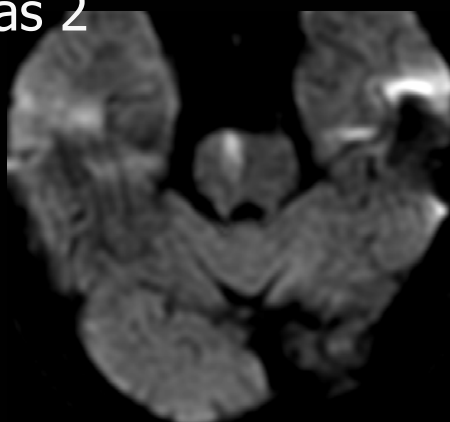
- Autres techniques d'acquisition :
  - Si on tient à utiliser l'écho-planar
    - EPI multishot (↘ TE)
    - EPI + imagerie parallèle SENSE ou ASSET (↘ Bdw, ↘ TE)

Cas 1



Diffusion sans ASSET  
TE = 120 ms

Cas 2



Diffusion avec ASSET  
TE = 86 ms

## Remarque :

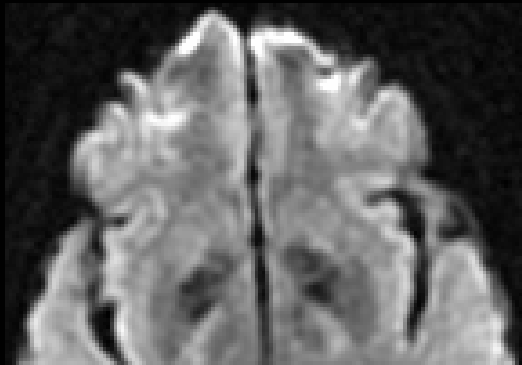
Tout ce qui réduit le TE, réduit les artefacts de susceptibilité magnétique car moins de déphasage

😊 Disponible chez tous les constructeurs si antenne multicanaux

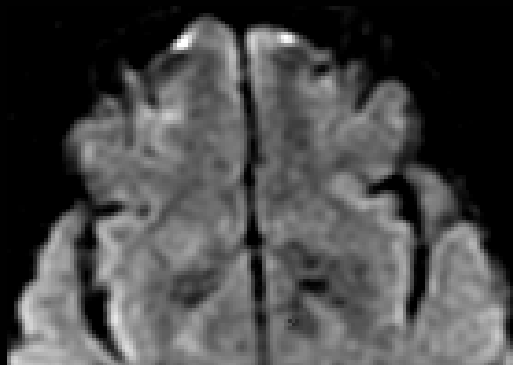
# Susceptibilité magnétique

## Autres techniques d'acquisition :

- Avec écho-planar (EPI)
  - EPI multishot (↘ TE)
  - EPI SENSE ou ASSET (↘ Bdw, TE)



Diffusion sans ASSET  
TE = 120 ms



Diffusion avec ASSET  
TE = 86 ms

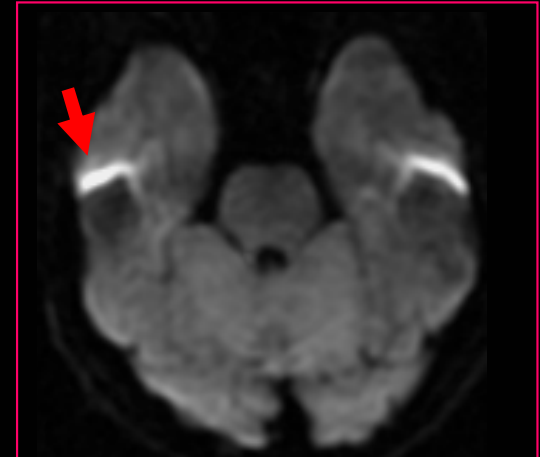
### Remarque :

Tout ce qui réduit le TE,  
réduit les artéfacts de  
susceptibilité magnétique  
car moins de déphasages

😊 Disponible chez tous  
les constructeurs avec  
antennes multicanaux

# Susceptibilité magnétique

- Méthodes de correction :
  - Avec échoplanar (EPI)
    - EPI multishot (↘ TE)
    - EPI SENSE ou ASSET (↘ Bdw, TE)
  - Sans échoplanar
    - SSFSE, PROPELLER



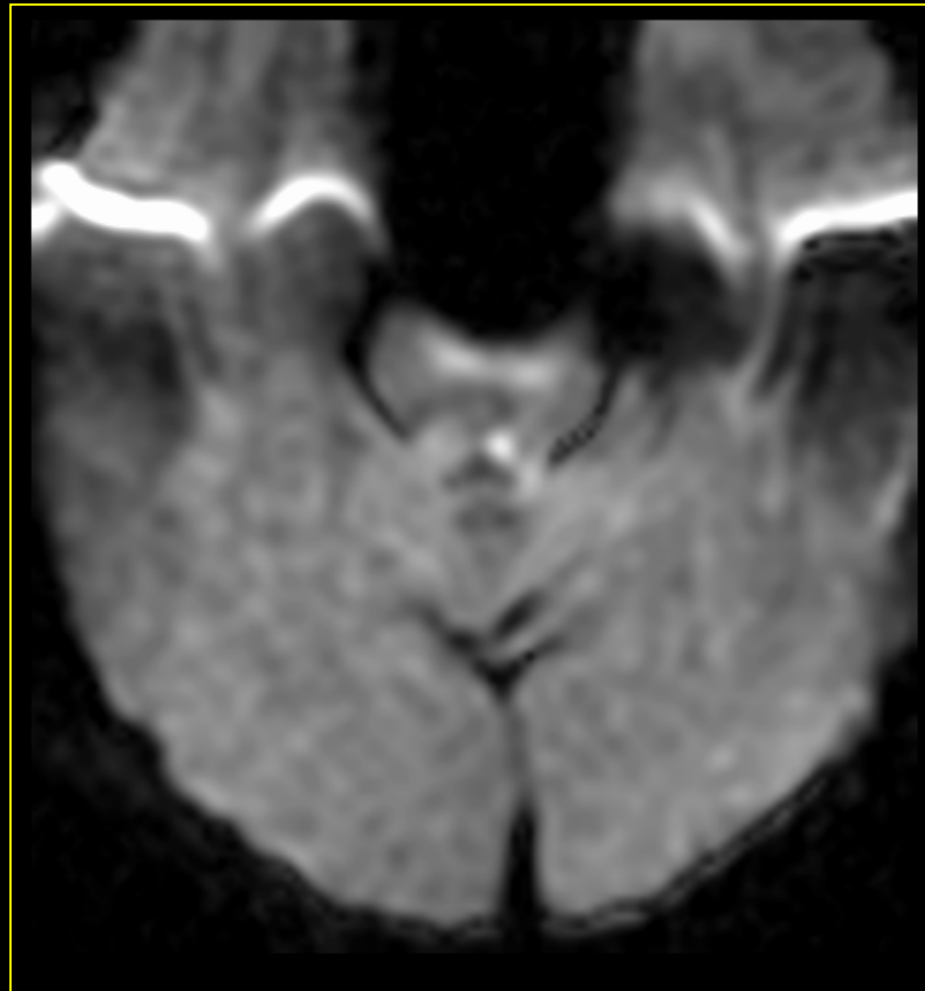
Echo planar



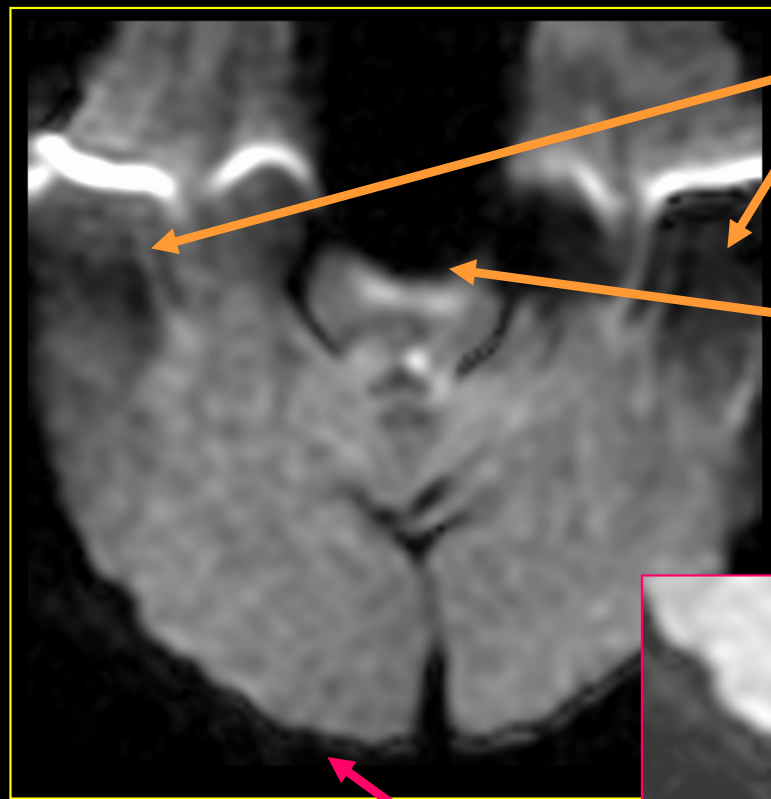
PROPELLER



Quels d'artéfacts reconnaissez-vous ?



Ils sont de deux types ?



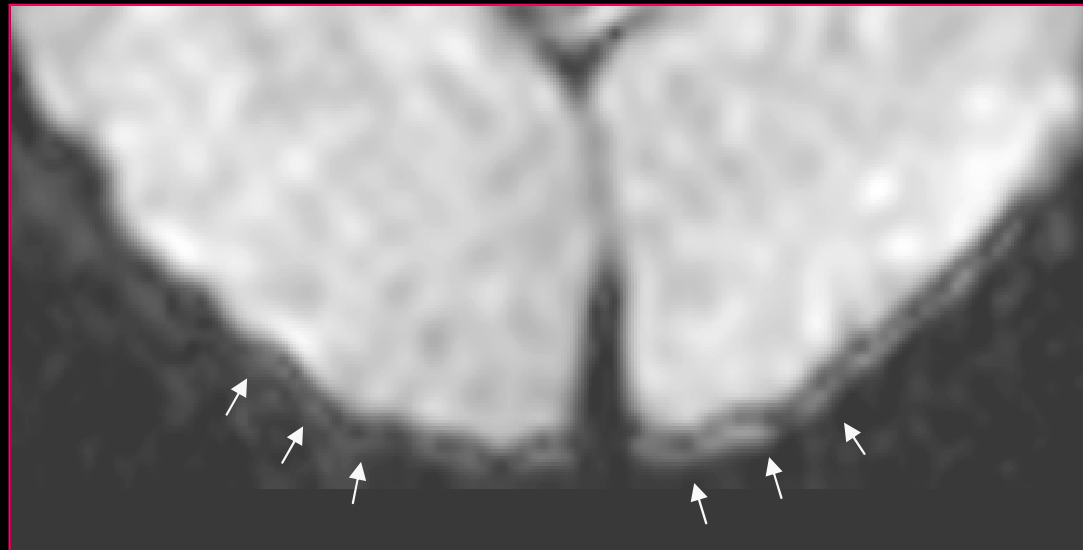
Susceptibilité  
magnétique

Idem +  
distorsion du  
tronc cérébral



Distorsions dûes aux Courants de Foucault

# Courants induits de Foucault

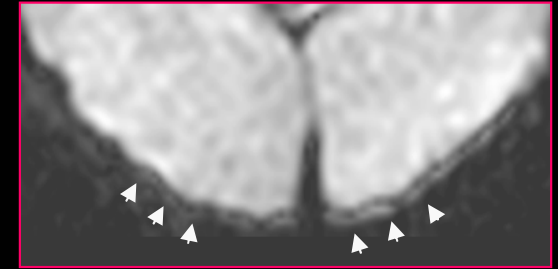


En savoir  
plus ?



## En quoi ce nouvel artéfact est il gênant ?

- Les courants induits de Foucault sont responsables de distorsions de l'image
- En pratique clinique, ils ne sont pas très gênants mais ...
- Ces distorsions dépendent de la direction des gradient de diffusion
- Elles entraînent des erreurs de calcul sur :
  - L'image globale de diffusion
  - Carte d'ADC ou d'anisotropie
- Il est impératif de les corriger pour une quantification précise (tractographie, calcul d'anisotropie...)

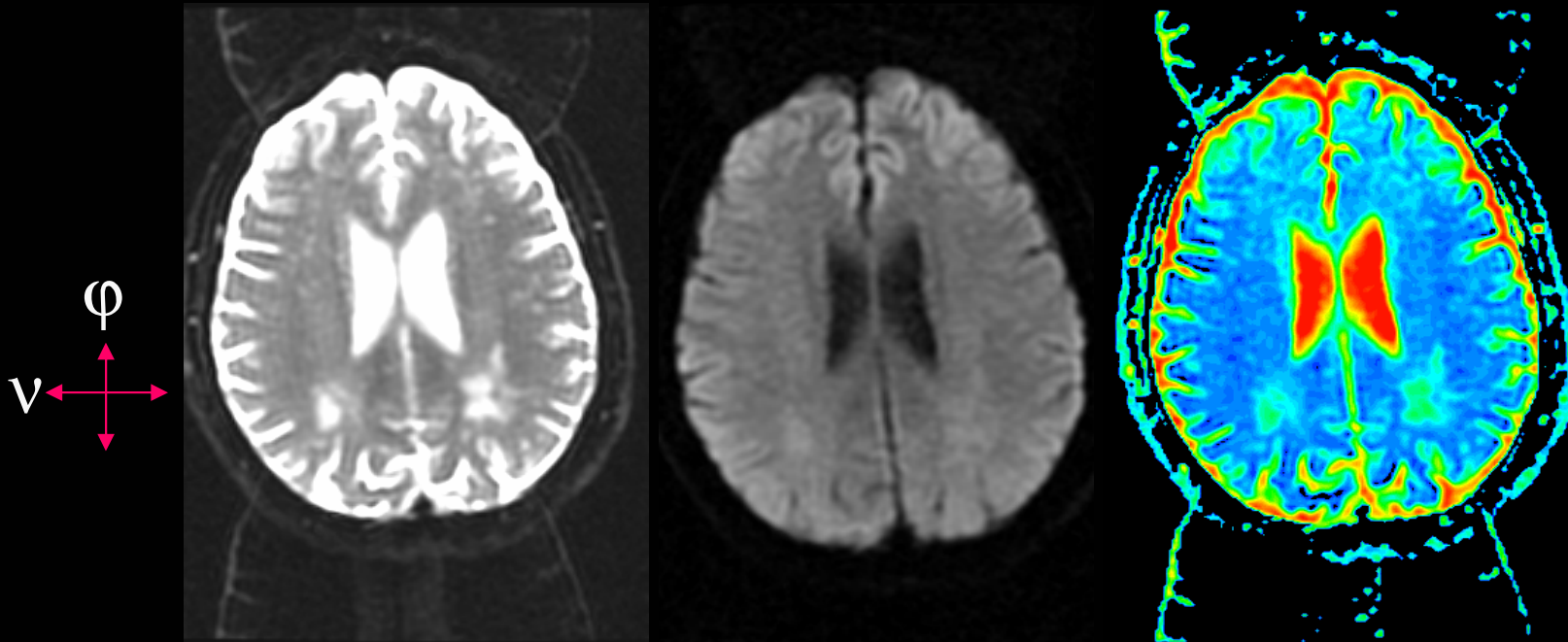


Comment le corriger



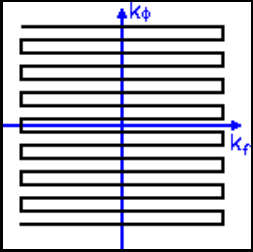


Avez-vous déjà vu ce type d'artéfact ?



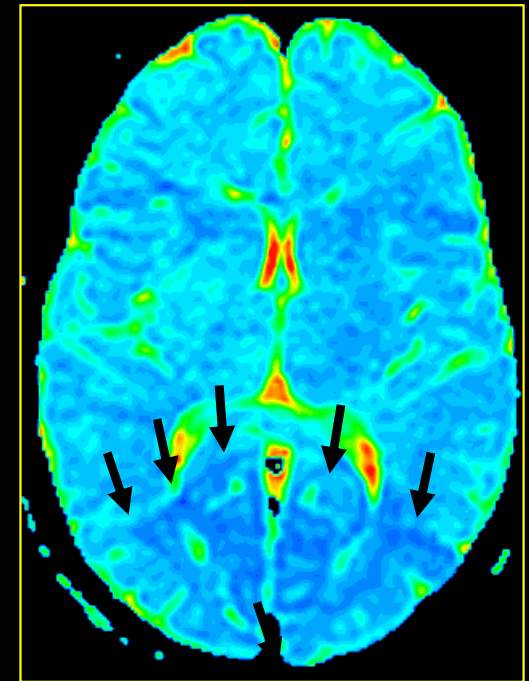
A quoi correspondent-ils

?

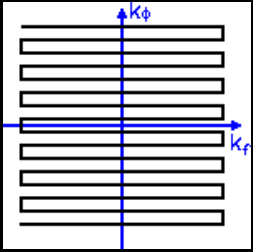


# Images fantômes\*

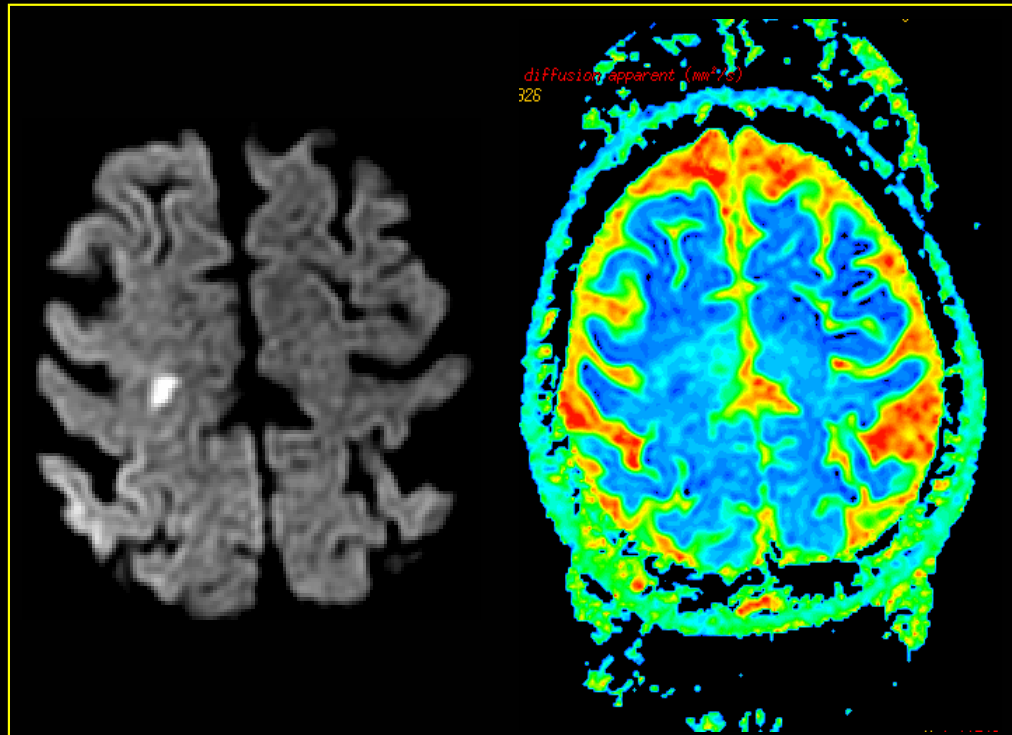
- Elles entraînent des erreurs de calcul d'ADC
- Quand sont elles gênantes ?



\* Nyquist Ghost

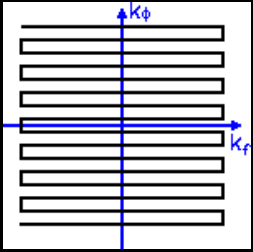


# Images fantômes



- Ici, l'artéfact masque la baisse d'ADC de cette lésion ischémique récente





# Images fantômes

## Comment les corriger ?

- Solutions :

- ↘ courants induits
- ↗ homogénéité  $B_0$
- Réglage des gradients

☹ Implique un meilleur réglage (shimming) de votre machine à la prochaine maintenance

- EPI FLAIR

- ↗ FOV

😊 C'est un choix de l'utilisateur à la console

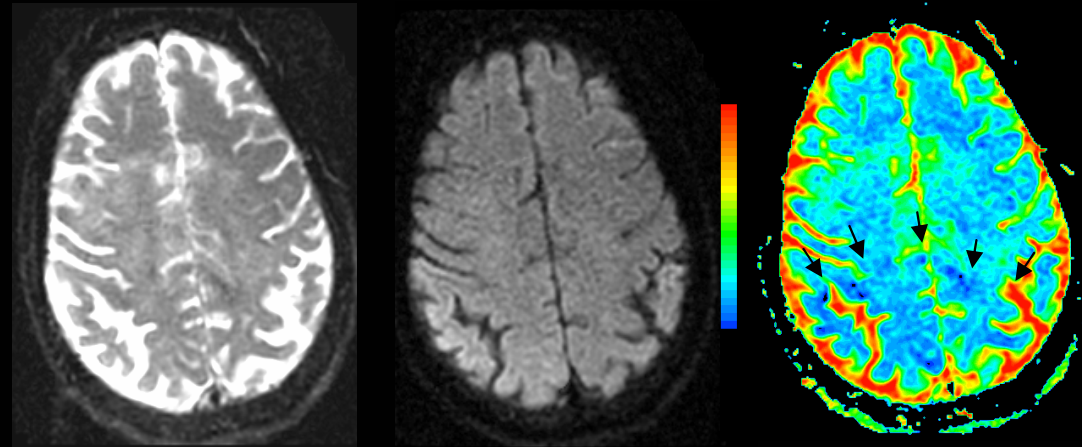
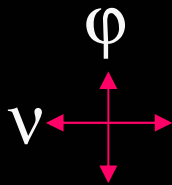
- Car artéfacts se projettent à la moitié du champ de vue (FOV) dans le sens du codage de phase



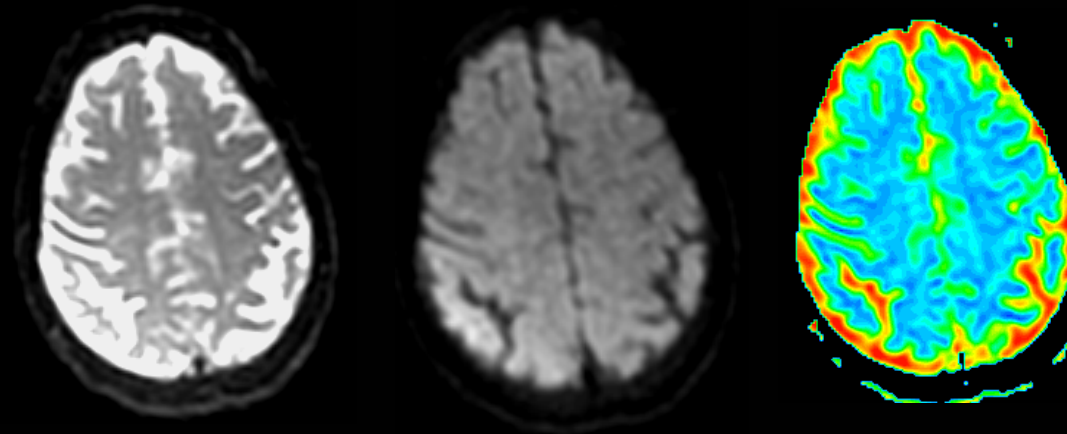
# Images fantômes

## Elargissement du champ de vue (FOV)

FOV = 18 cm



FOV = 32 cm

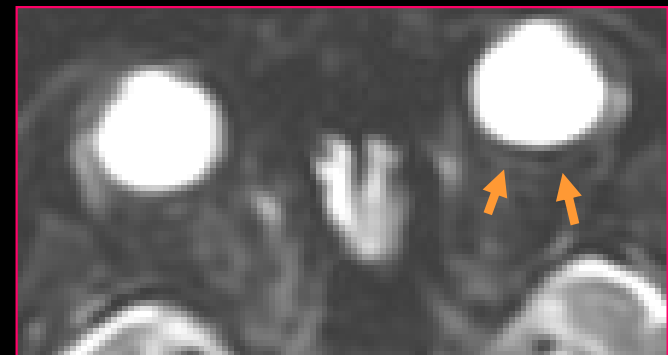
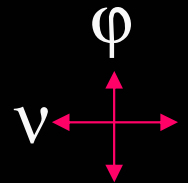


Mais se solde par une perte de résolution

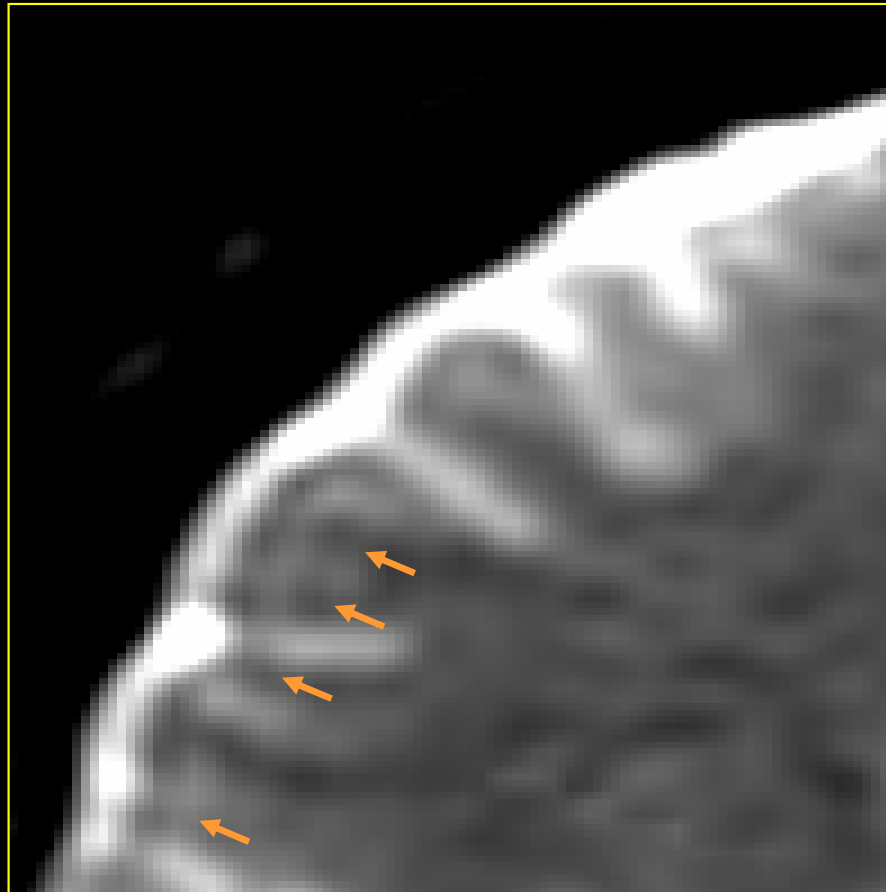


# Artéfact de déplacement chimique

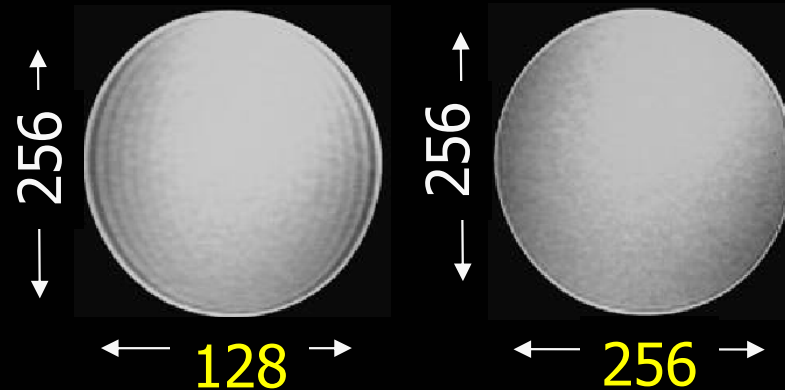
- Commun à toutes les séquences
- Dues aux différences de fréquence de résonance EAU et GRAISSE
  - En écho planar :
    - + marqués qu'en écho de spin
    - Se projettent dans le sens du codage de phase
  - En écho de spin :
    - Se projettent dans le sens de la fréquence !
- Solutions :
  - Suppression de graisse



Quel est cet artéfact ?



# Artéfact de troncature

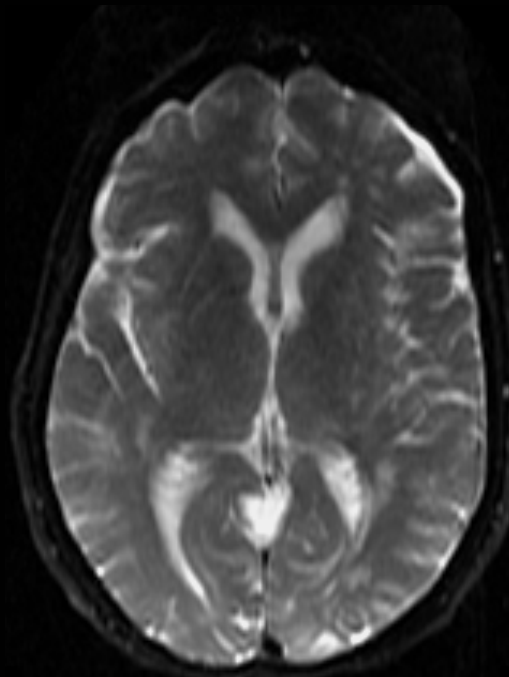


- Alternance de lignes blanche et noire « parallèles » aux interfaces où existent un changement brutal d'intensité (Voute crânienne/encéphale)
- Bien connu à l'interface LCS/moelle en T2 (peut entraîner de fausse image de syringomyélie)
- Dû au nombre fini de pas d'encodage utilisés par la transformée de Fourier pour reconstruire l'image
- **Solution** : augmenter le nombre de lignes (matrice)

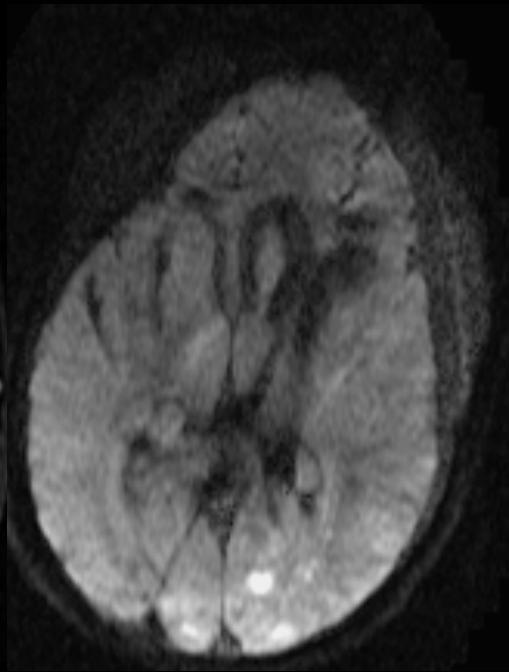




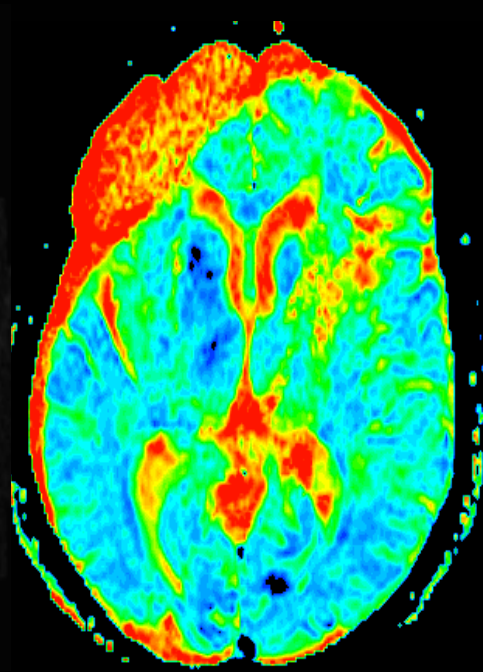
# Quel est cet artéfact ?



T2 :  $b=0$



*Diffusion*

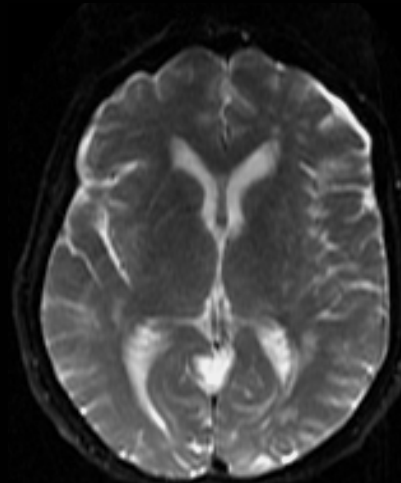


ADC

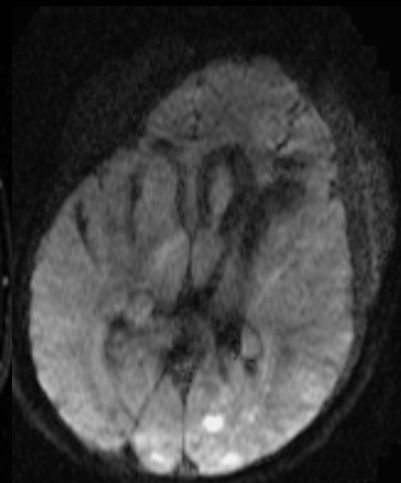


# Artéfact de mouvements

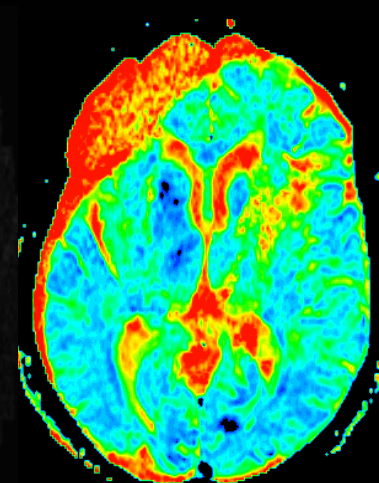
- Tête, respiratoires, batt. cardiaques, vibrations du lit. Ici, c'est le patient qui bougeait la tête !
- Single shot EPI
  - Peu sensible car 1 image  $\approx 100\text{ms}$



T2 :  $b = 0$



Diffusion

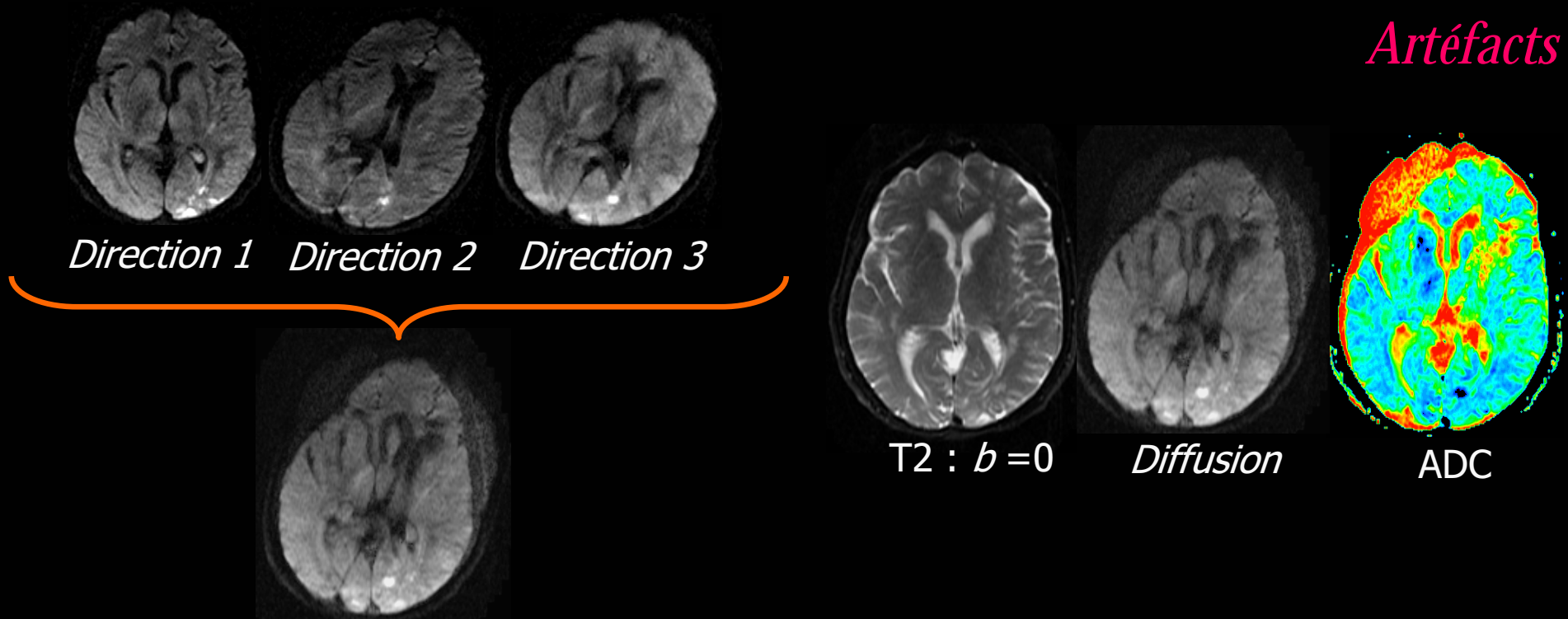


ADC

*Pourquoi l'image en  $b_0$  est elle parfaite alors que l'image de diffusion et l'ADC sont artéfactés*



## Artéfacts

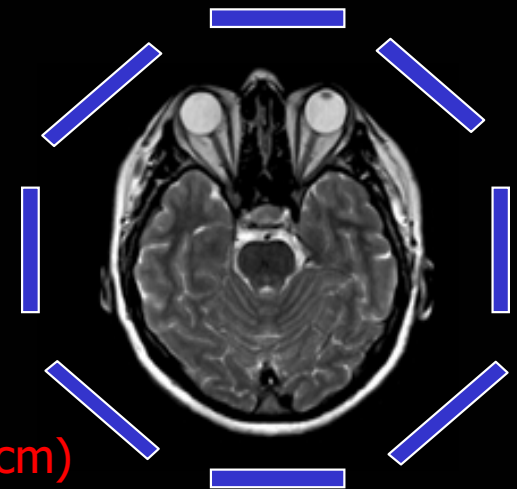
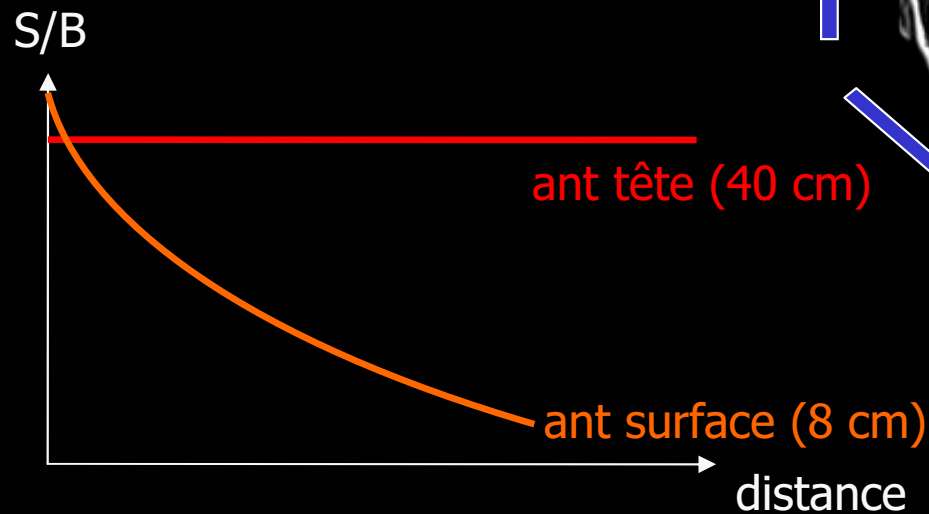
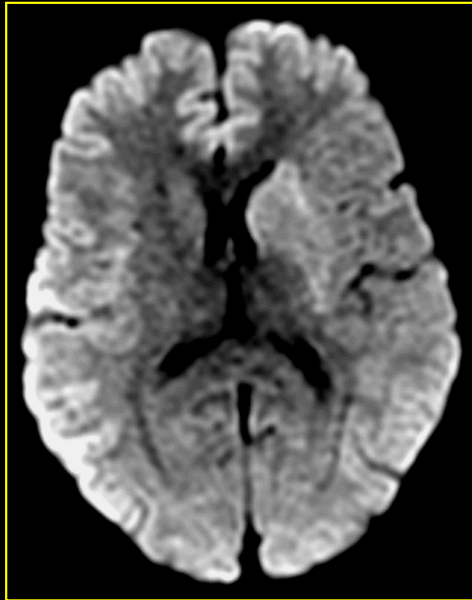


- Acquisitions successives d'images en  $b_0$ , puis directions 1, 2, 3
- Si le tête bouge (**ici entre direction 1 et 2**), l'image moyennée sera faussée, voire ininterprétable
- **Solution** : conserver et interpréter les images brutes (direction 1, 2 ...)
- Calcul d'ADC entre  $b_0$  et  $b_{1000}$  : Faux si la position de la tête change entre l'acquisition des images  $b_0$  (acquise en premier) et les images de diffusion



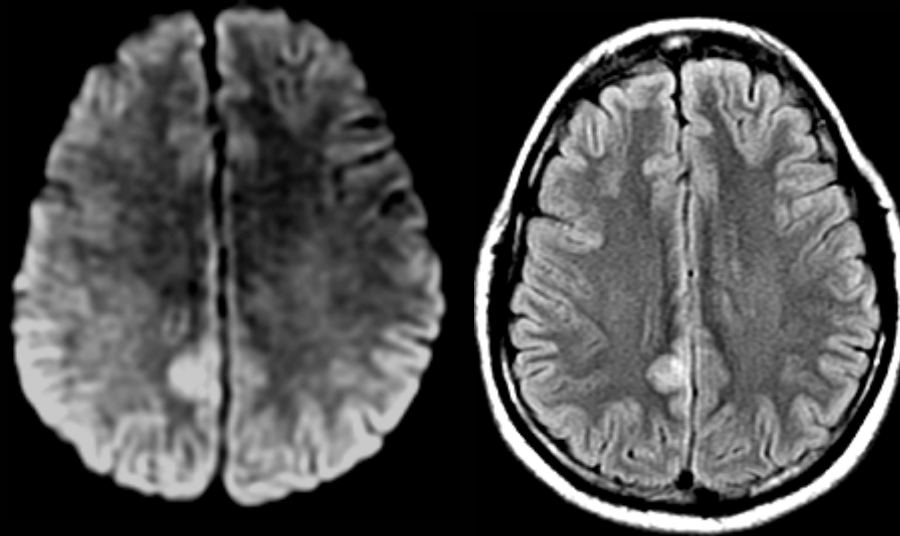
# Surbrillance du cortex

*Artéfacts*



- Avec les antennes multicanaux (de surface), le signal est plus important à proximité de l'antenne
- Ceci entraine une surbrillance du cortex





- En pratique, ceci peut être gênant en cas de lésion du cortex, pour déterminer son étendue
- Solution :
  - comparer aux autres séquences (FLAIR)
  - générer une image exponentielle ( $e^{-bADC}$ )
  - Calculer l'ADC (car ce problème existe sur l'image  $b_0$  et  $b_{1000}$  donc, pas sur la carte d'ADC qui repose sur un rapport  $\text{Signal } b_{1000} / \text{Signal } b_0$ )

En savoir plus ?



# Images pièges

Les images de diffusion sont pondérées en T1, DP, **T2** et en diffusion

- T2-shine through
- T2 black-out
- T2 wash-out

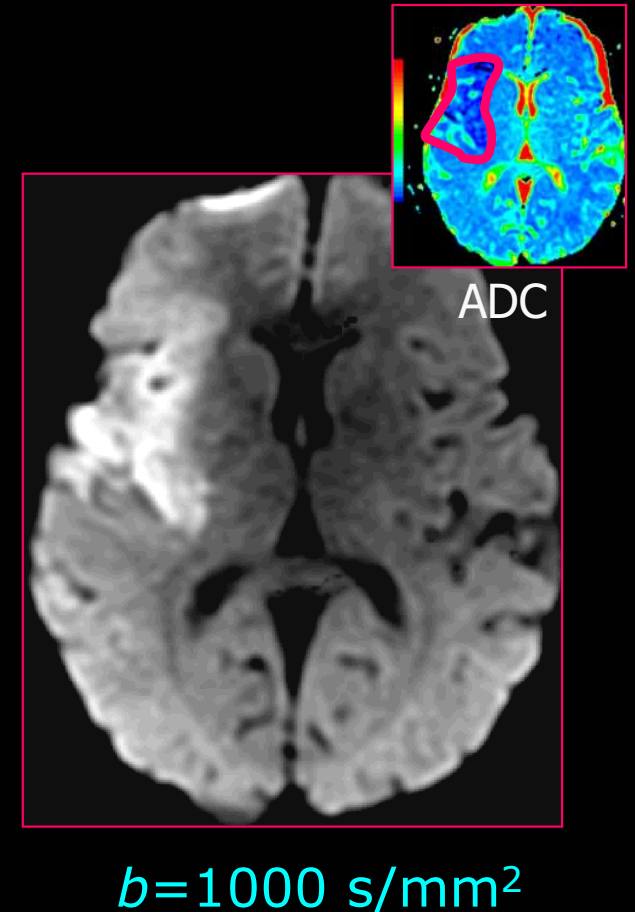


# Images pièges

*Images pièges*

En temps normal ...

- ① milieu à diffusion élevée  
(ADC élevé) → hyposignal
- ② milieu à diffusion basse  
(ADC bas) → hypersignal



Ne signifie pas toujours

Hypersignal Diffusion  ADC diminué

T2-shine through

En savoir plus ?

Hyposignal Diffusion  ADC augmenté

T2 black-out

En savoir plus ?

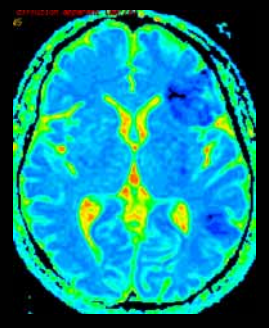
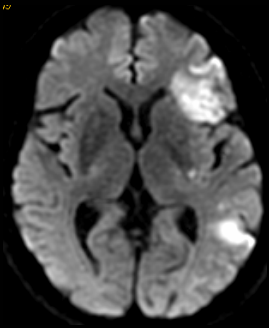
Diffusion Normale  ADC normal

T2 wash-out

En savoir plus ?



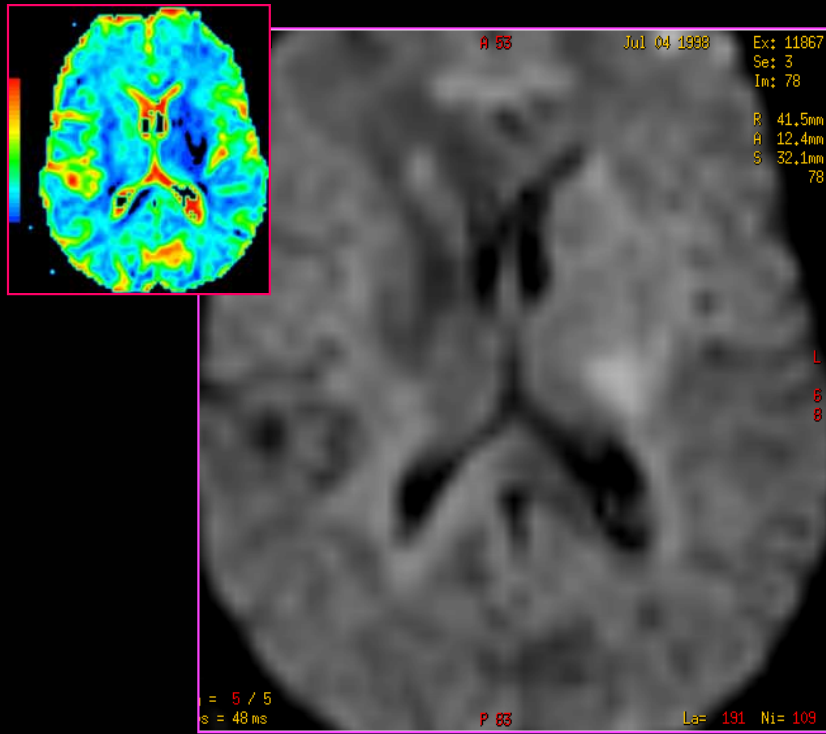




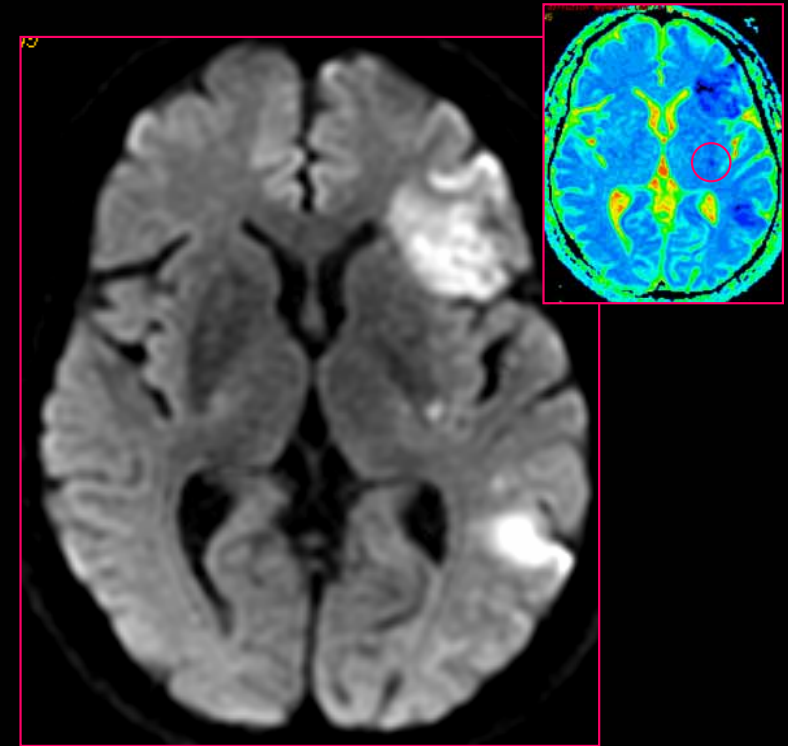
- Ces différentes situations soulignent les pièges potentiels d'interprétation si l'analyse du signal est basée sur les seules images de diffusion
- Ainsi, le calcul d'ADC permet de s'affranchir de cet « effet T2 » et d'obtenir une information « pure » sur la diffusion
- Ce calcul doit être systématique chaque fois qu'existent des modifications importantes du signal (hyper ou hyposignal) sur les séquences pondérées en T2 (FLAIR ou écho de spin rapide T2) pour éviter les erreurs d'interprétation des images de diffusion



# Conclusion



Fin du XX<sup>ème</sup> siècle



Début du XXI<sup>ème</sup> siècle

*Comme le montrent ces images, la qualité de nos séquences s'est beaucoup améliorée ces dernières années.*

*Puissent les prochaines années être aussi riches dans ce domaine ...*



*C'est la fin de ce diaporama*

*Nous espérons qu'il a répondu à vos attentes*

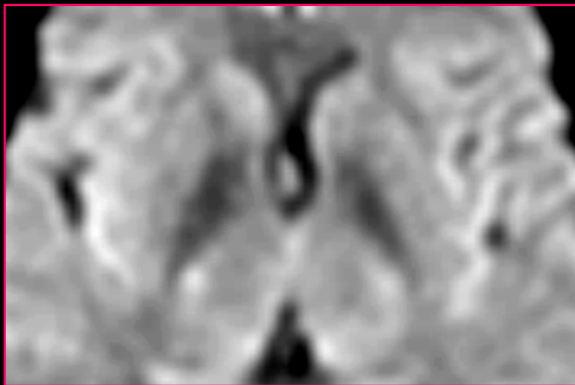
*Retour à la 1<sup>ère</sup> diapo !*



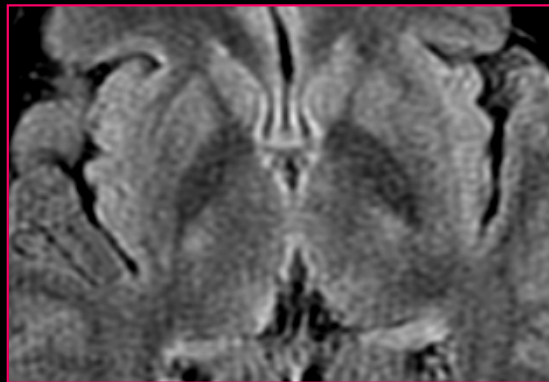


# Hyposignal des noyaux gris

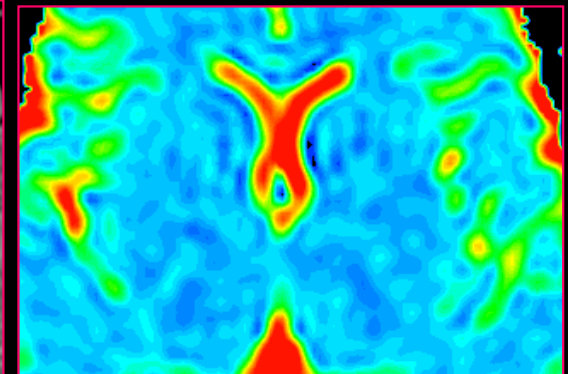
- Les noyaux gris sont généralement en hyposignal en diffusion en raison d'une surcharge ferrique.
- Cet hyposignal est aussi visible en T2 et sur la séquence écho-planar acquise à  $b=0$  s/mm<sup>2</sup>.
- L'ADC varie selon l'importance de l'effet de susceptibilité magnétique.



Diffusion



FLAIR



ADC





- Ceci s'explique par le fait que la substance grise à un signal plus élevé que la substance blanche en séquence pondérée en T2, ou **effet T2**.
- Chez l'adulte, l'ADC de la substance blanche est semblable à celui de la substance grise.

Glossaire



- Les images de diffusion dite **isotropes** ont généralement un signal relativement homogène. Toutefois, des hypersignaux discrets sont souvent visibles dans le bras postérieur des capsules internes, le long des faisceaux cortico-spinaux, et au niveau de la décussation des pédoncules cérébelleux supérieurs.
- La diffusion le long de ces faisceaux est fortement **anisotrope**. Ces hypersignaux, du au fait que les mouvements de diffusion sont préférentiellement orientés dans certaines direction de l'espace, ne sont qu'imparfaitement corrigés par le moyennage d'images de diffusion acquises dans 3 directions orthogonales de l'espace.

# Glossaire

- Effet T2 ou « T2-shine through » : traduit la persistance de l'hypersignal T2 du à l'allongement du temps de relaxation T2 sur l'imagerie de diffusion. Au contraire, l'effet « T2-dark through » traduit la persistance de l'hyposignal T2 du à raccourcissement du temps de relaxation T2 sur l'imagerie de diffusion
- Image de diffusion isotrope : elle est le résultat de la combinaison de trois images acquises avec des gradients de diffusion appliqués dans trois directions orthogonales de l'espace ( $xx'$ ,  $yy'$ ,  $zz'$ ). C'est l'image qui est habituellement transmise au clinicien.
- Anisotropie : Hétérogénéité de la vitesse de déplacement des molécules d'eau selon les directions de l'espace. La substance blanche est un tissu fortement anisotrope.



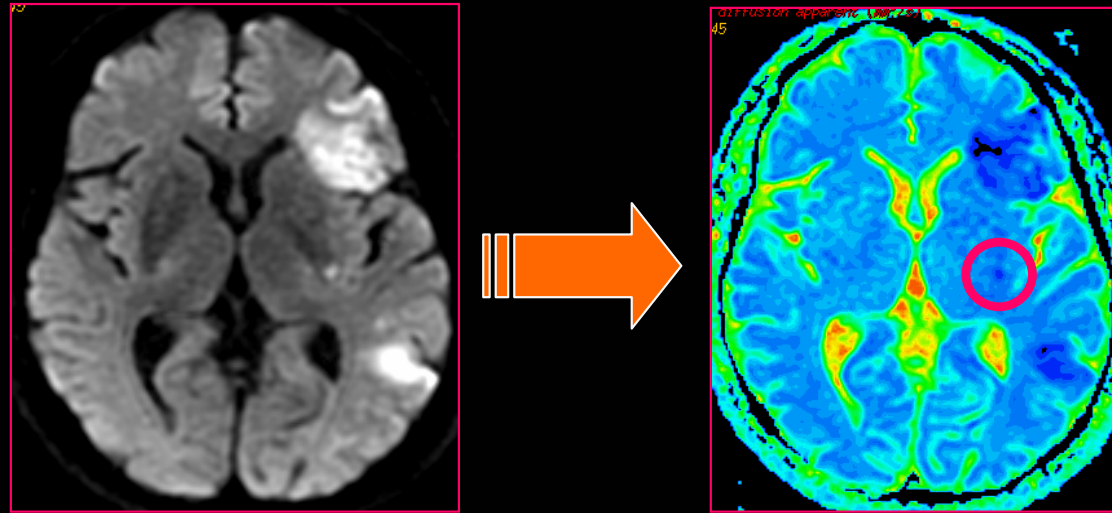


# Glossaire

- L'imagerie de diffusion est acquise grâce à l'introduction de gradients de diffusion
- Le paramètre  $b$ , ou facteur d'atténuation, est une constante qui dépend des caractéristiques des gradients de diffusion
- Il indique la pondération en diffusion d'une séquence
- Plus  $b$  est élevé, plus la séquence sera pondérée en diffusion
  - Si  $b=0$  s/mm<sup>2</sup>, il n'y a pas de gradients de diffusion. La séquence est simplement pondérée en T2
  - $b=1000$  s/mm<sup>2</sup> est la valeur la plus communément utilisée



# *Ischémie aiguë*



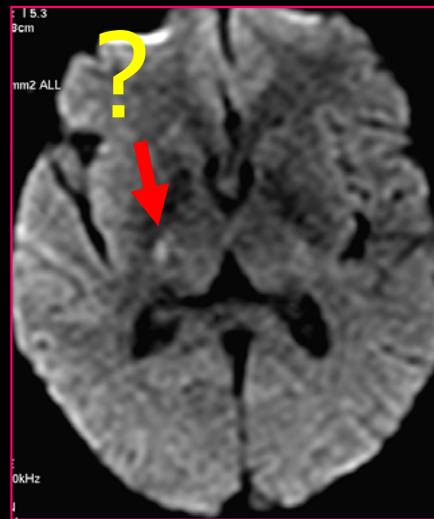
Difficulté d'interprétation : Ces hypersignaux, en particulier ceux du bras postérieur des capsules internes, peuvent être difficiles à distinguer d'un accident vasculaire cérébral ischémique capsulaire.

Solution : Le calcul d'ADC, s'il montre une baisse d'ADC, aide au diagnostic de lésion ischémique.

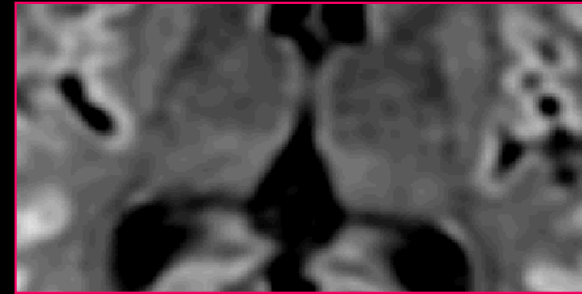
Ici, accident ischémique artériel aigu



# *artéfact d'anisotropie*



3 dir.



25 dir.

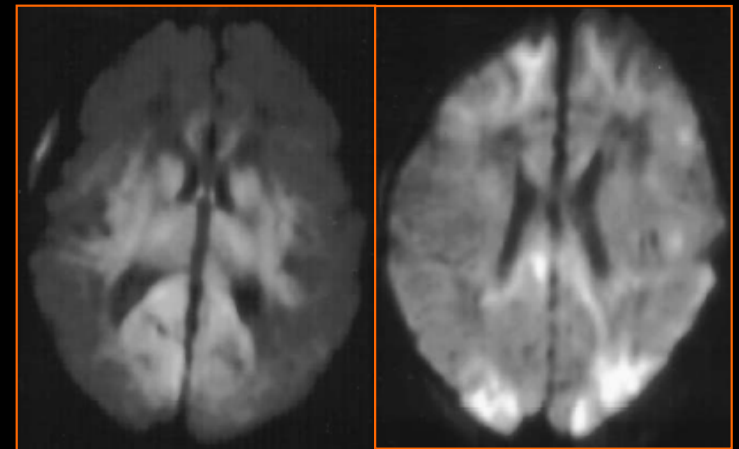
Difficulté d'interprétation : ici, doute sur un accident ischémique profond

Solutions : La bilatéralité des hypersignaux et l'absence d'anomalie franche en FLAIR sont de bons arguments en faveur d'artéfact.

L'hypersignal en diffusion, est ici, du au fait que les mouvements de diffusion sont préférentiellement orientés le long du faisceau corticospinal. Cet effet d'anisotropie n'est qu'imparfaitement corrigé par le moyennage d'images de diffusion acquises dans 3 directions de l'espace. En cas de doute diagnostique, l'acquisition d'images dans plus de directions de l'espace (ex 25 directions) permettra d'obtenir une image finale plus homogène avec moins d'artefacts d'anisotropie. Ici, il s'agissait d'un artéfact !



- Chez le nouveau né et le jeune enfant, l'ADC est plus élevé que chez l'adulte en particulier dans la substance blanche
- Ainsi, sur les images de diffusion, la substance blanche frontale, peu myélinisée, est en hyposignal. Cet effet s'estompe lors de la maturation cérébrale et de la myélinisation progressive, avec une baisse d'ADC qui rejoint celles observées chez l'adulte



Takeoka, et al. *Pediatr Neurol.* 2002

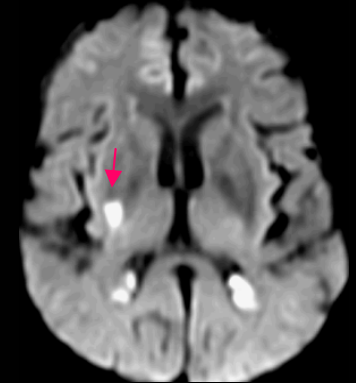
Deux exemples d'ischémie bilatérale néonatale

Difficulté d'interprétation : l'ischémie néonatale est souvent bilatérale et parfois difficile à distinguer au sein d'un parenchyme présentant des hétérogénéités de signal bilatérales

Solution : comparer les images et valeur d'ADC à celle de sujets sains de même âge



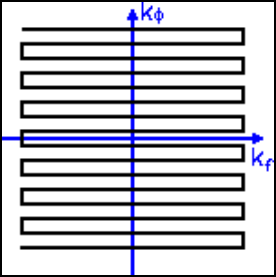
# Plexus choroïdes



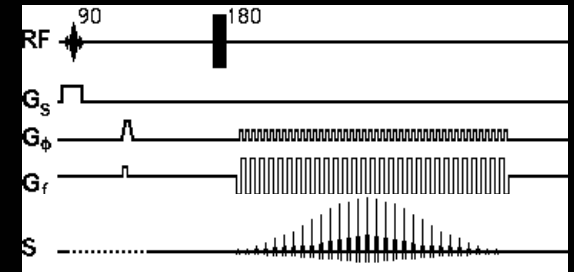
- Habituellement, les ventricules sont en hyposignal en diffusion du fait d'un contenu liquidien. Les plexus choroïdes sont parfois en franc hypersignal sur les images de diffusion, avec un ADC plus bas que celui du liquide cérebrospinal
- Cet hypersignal serait dû à la présence de kystes gélatineux des plexus choroïdes et n'est pas pathologique.

A noter l'existence d'une lésion ischémique profonde droite (flèche)





# Echo planar



- L'écho planar est une séquence de la famille des écho de gradient rapides avec une acquisition après une seule impulsion d'excitation.
- L'acquisition se fait sur toute la période d'évolution du gradient de lecture qui oscille rapidement d'une amplitude positive à négative décrivant chaque ligne du plan de Fourier dans un sens puis dans le sens inverse. Le gradient de codage de phase est constitué de petit blips qui permettent de passer d'une ligne à la suivante.
- Une coupe est acquise en moins de 100 ms.



# Résumé

**Objectifs** : Présenter les aspects normaux de l'encéphale en séquence de diffusion ainsi que les images pièges normales et pathologiques et comprendre leur origine. Expliquer l'origine des artefacts liés à la technique employée et discuter des solutions possibles pour les identifier ou les supprimer.

**Matériels et méthodes**:

Illustration à partir d'images de diffusion sélectionnées issue du banque de donnée d'un département de Neuroimagerie utilisant cette technique en routine.

**Résultats** :

Après un rappel simplifié des paramètres contribuant à la formation du signal et des facteurs de qualité de l'image propre à l'imagerie de diffusion, nous illustrerons successivement l'aspect normal de l'encéphale en diffusion, les images pièges liées essentiellement à la pondération T2. Les artefacts suivants seront détaillés : courants de Foucault, effet de susceptibilité magnétique, images fantômes en  $N/2$ , déplacement chimique, mouvements, artefacts dus à l'utilisation d'antenne multicanaux.

**Conclusion** :

La connaissance des images pièges normales et pathologiques ainsi que des artefacts en imagerie de diffusion permet d'éviter les erreurs diagnostiques.



# Susceptibilité magnétique

- L' écho planar est très sensibles aux artefacts de susceptibilité magnétique. Ils entraînent des distorsions visibles près de la base du crane, à l'interface entre l'air et le parenchyme cérébral
- Ils sont marqués dans le sens du codage de phase car l'**erreur s'accumule** au sein du train d'acquisition qui est long. Noter que ces artefacts augmentent avec la durée du temps de lecture (TE), par exemple si on augmente la matrice
- En coupe axiale, on préfère un codage de **phase** dans la direction **antéro-postérieure** (fig 1) car les distorsions sont trop importantes lorsque le codage de phase ( $\phi$ ) est placé en Droite-Gauche (fig 2).

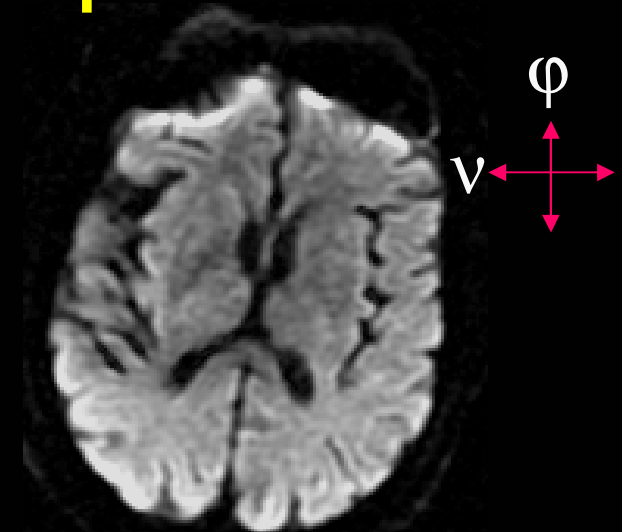


Fig 1



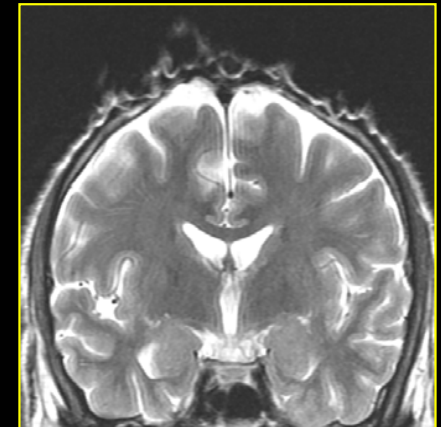
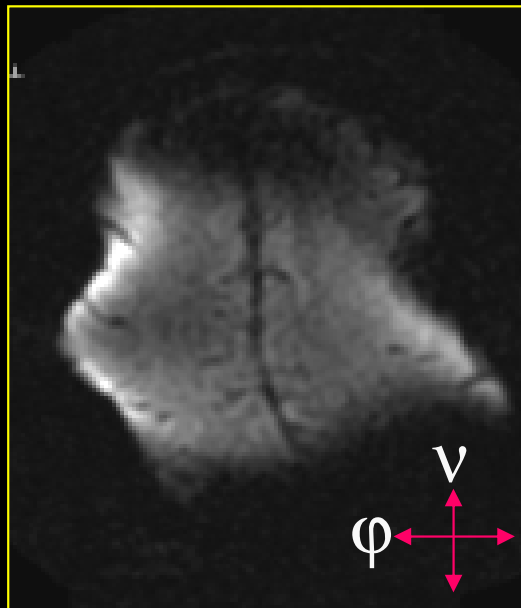
Fig 2





## *C'est une erreur de choix de la direction du codage de phase*

*Artéfacts*



Écho de spin  
rapide

- Les artéfact de susceptibilité magnétique, déjà visibles en écho de spin rapide, s'aggravent en écho-planar et entraînent des distorsions majeures
- **Solution :**
  - Placer la phase en ANTERO-POST (en coupe axiale)
  - Réduire la taille de la matrice
  - Ne pas utiliser l'échoplanar en single shot (voir plus loin)



# Susceptibilité magnétique

- Solution : le plus simple est de regarder les séquences en écho de spin rapide qui sont moins sujettes à ce type artéfacts.



Ici, deux cas d'encéphalite à VZV



# Courants de Foucault

- La loi de Lenz dit qu'un changement de flux magnétique traversant une boucle, induit un courant électrique dans cette boucle, créant lui-même un flux de champ magnétique qui s'oppose au premier.
- La forme des gradients est modifiée par ces courants induits ou courants de Foucault (Eddy current).
- Ces courants sont importants en cas de changements rapides de gradients de champ magnétique, donc en écho planar (gradients ON/OFF).



# Correction des distorsions dues aux courants induits

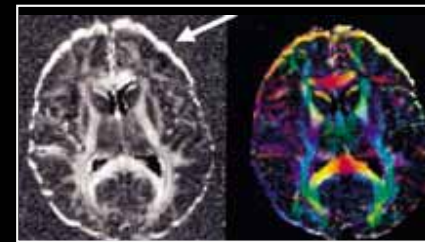
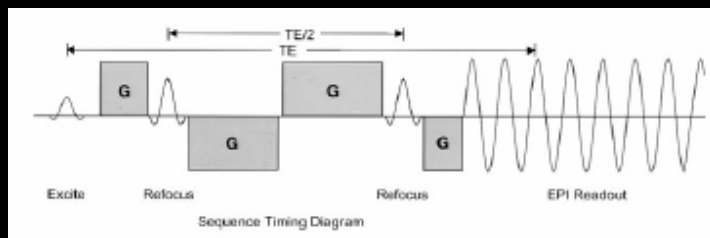
## – Pré-compensation

- distorsion des gradients avant l'acquisition pour compenser les déformations induites

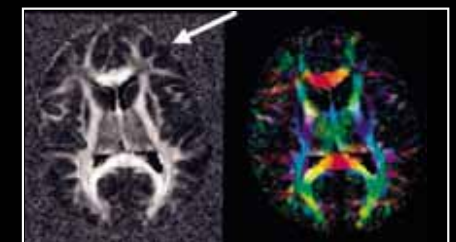
## – A l'acquisition

- Dual spin écho diffusion

*Reese et al. MRM 2003*



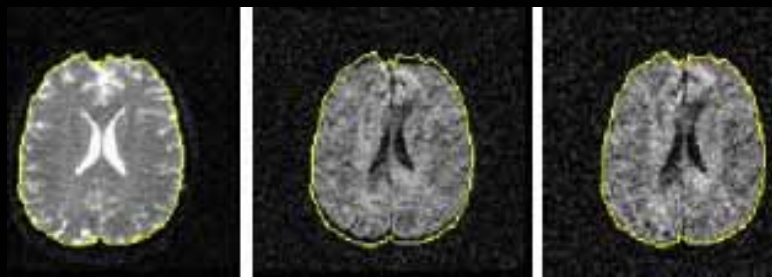
Diff. spin écho



Diff. dual spin écho

😊 Disponible chez certains constructeurs

## – Post-traitement



cible

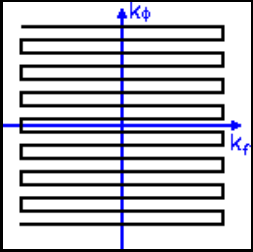
Image  
brute

Image  
corrigée

*Mangin 2001*

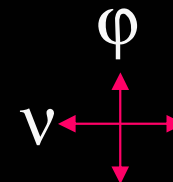
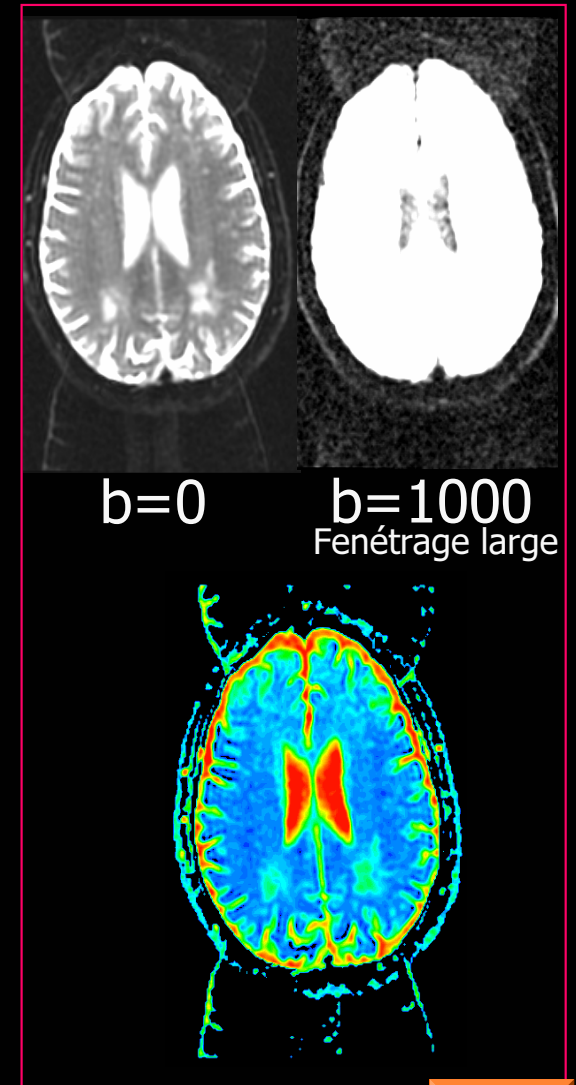
😊 Disponible chez certains constructeurs





# Images fantômes

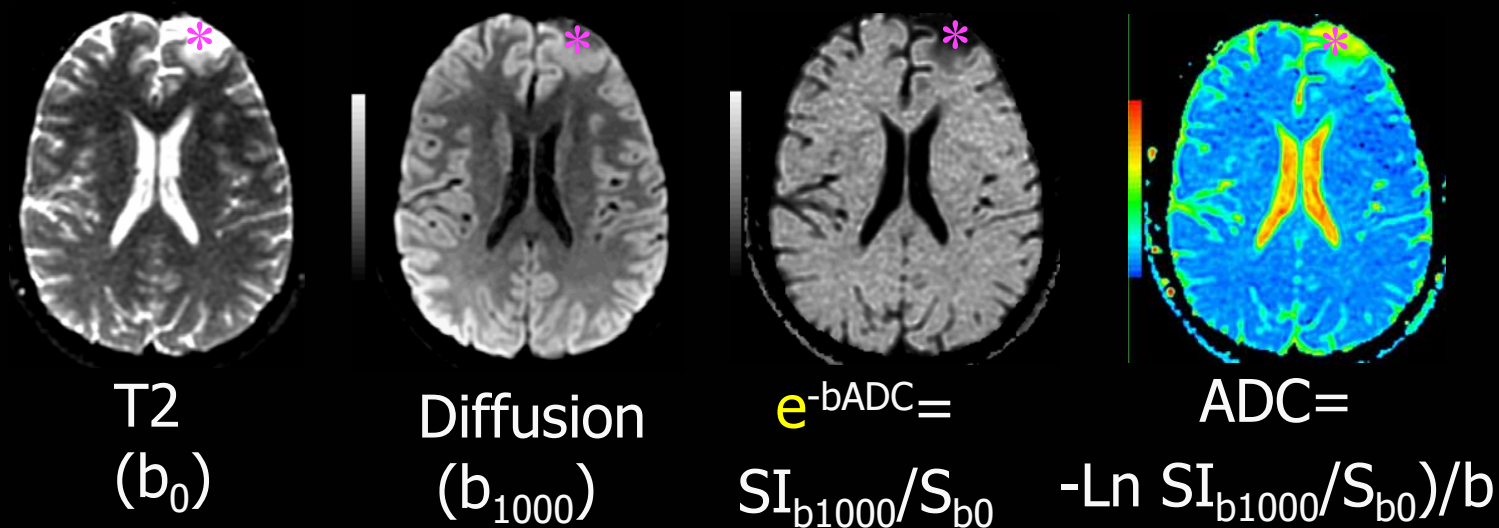
- Cet artefact est dû au fait que deux lignes adjacentes du plan de Fourier sont lues par des gradients de lecture de direction opposée
- Ces gradients ne sont pas strictement identiques du fait des :
  - Courants de Foucault
  - Imperfections de durée des échos pairs et impairs
  - Inhomogénéités des gradients et B0
- Ces images fantômes s'expliquent par des erreurs de phase différentes entre lignes paires et impaires de l'espace k
- Caractéristiques
  - Propre à EPI (gradient ON/OFF)
  - Se projettent à  $\frac{1}{2}$  FOV dans le sens phase (ici A/P)
  - ↘ si  $b$  augmente (donc moins visible à  $b=1000$ )
- Conséquences: artéfacts sur cartes d'ADC



# Image exponentielle

- Pour s'affranchir du contraste T2 ou d'éventuelle surbrillance en périphérie
- Consiste à diviser l'image de diffusion ( $SI_{b_{1000}} = S_{b_0} e^{-bADC}$ ) par le signal en  $b_0$
- Le signal devient :  $SI = SI_{b_{1000}} / S_{b_0} = e^{-bADC}$
- Attention, cette image se lit comme celle en diffusion :
  - hypersignal  $\approx$  ADC bas
  - Hyposignal  $\approx$  ADC élevé

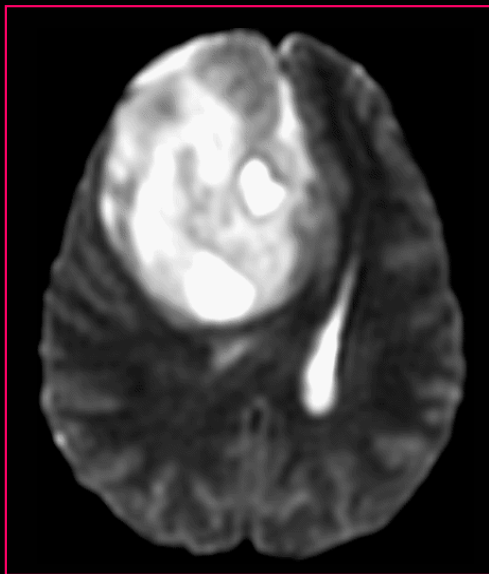
\* Oligodendrogliome



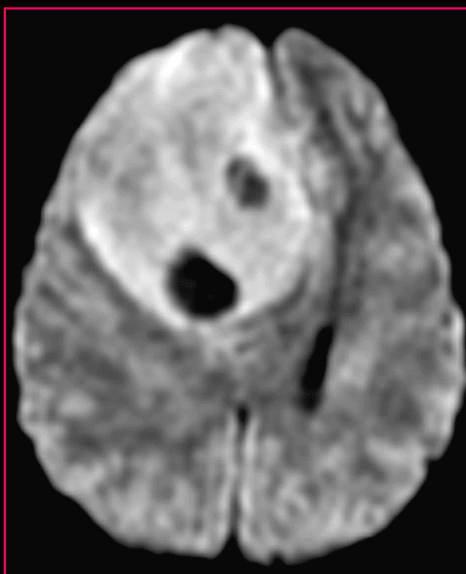


Hypersignal Diffusion  $\rightarrow \times \rightarrow$  ADC diminué

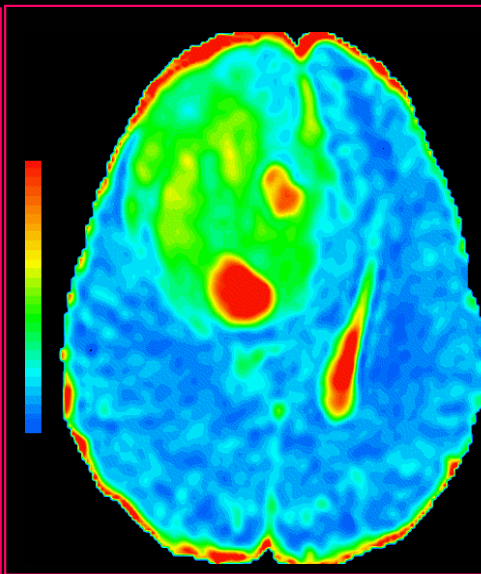
T2-shine through



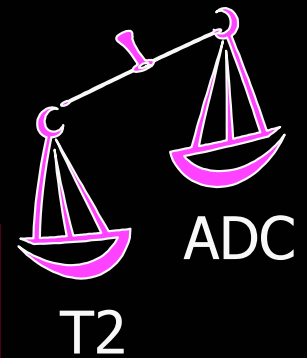
T2 ( $b=0$  s/mm<sup>2</sup>)



Diffusion



ADC

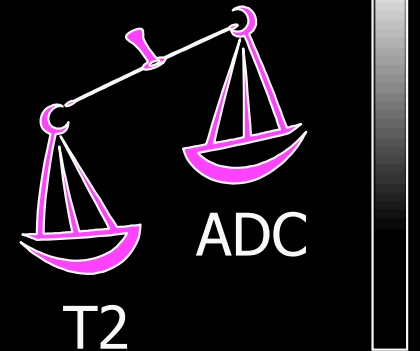
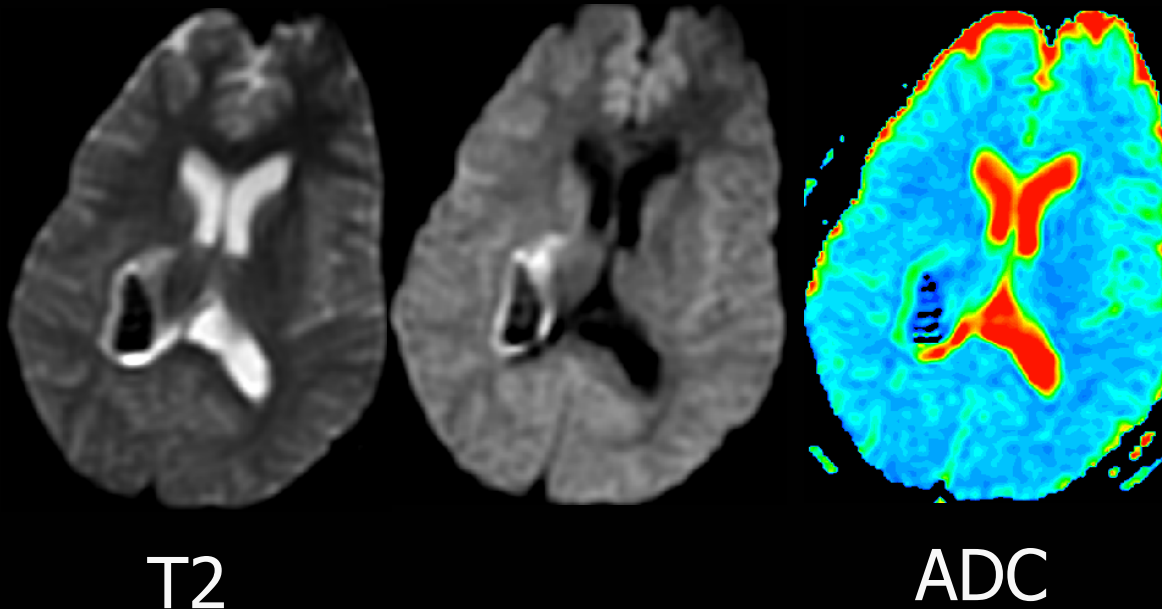


- Ici, l'hypersignal en diffusion ne reflète pas une baisse d'ADC
- L'hypersignal en diffusion est dû à l'allongement du T2 (hypersignal T2) peut persister sur la séquence de diffusion sans qu'il existe de baisse d'ADC
- C'est l'effet "T2 shine-through" des anglosaxons
- Ici, l'ADC est modérément augmenté (tumeur)



Hyposignal Diffusion  $\rightarrow$  ~~X~~  $\rightarrow$  ADC augmenté

T2- black-out



- L'effet T2 peut se traduire par un hyposignal sur la séquence de diffusion (effet « T2 dark-through ») en cas de lésion hypointense en T2, malgré une baisse de l'ADC
- Ici, hématome récent



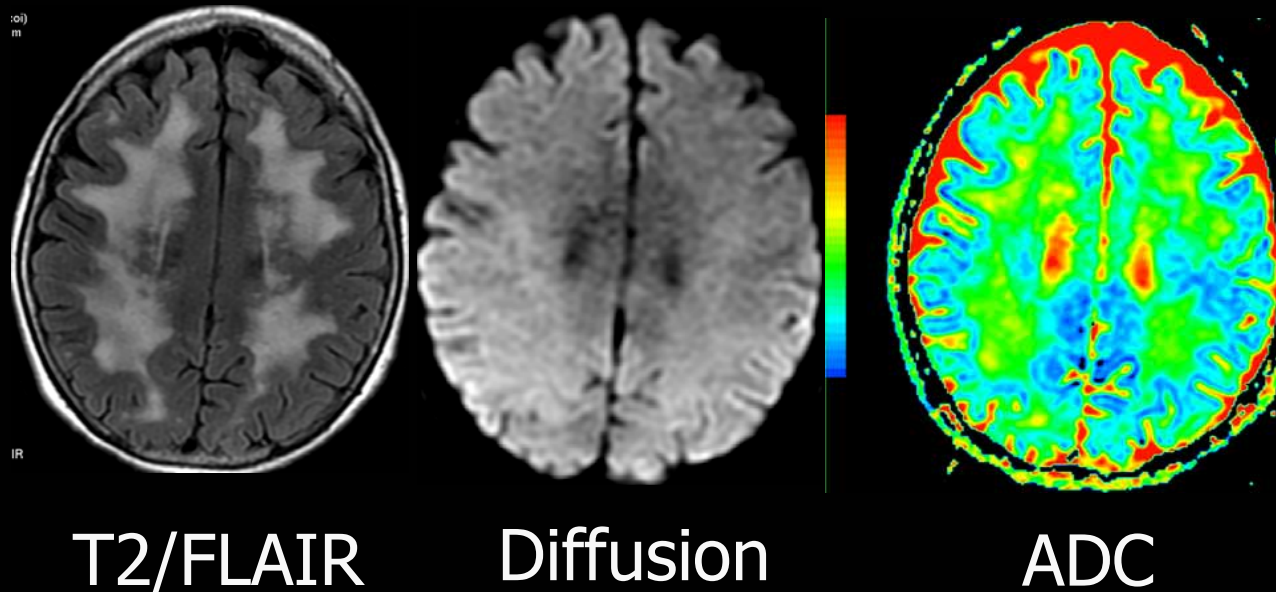
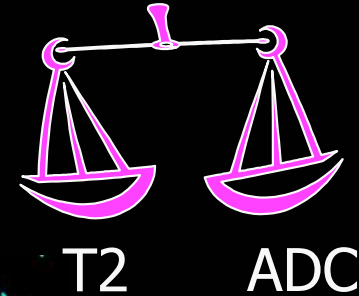


# Diffusion Normale



# ADC normal

T2 wash-out



- Enfin, une lésion peut apparaître isointense en diffusion alors que ni le T2 ni la diffusion ne sont normales !
- Cette situation se rencontre lorsqu'il se produit une balance entre la composante hyper intense liée à l'effet T2 et la chute du signal liée à un ADC augmenté

